

# Orální histologie a embryologie

CVIČENÍ

**Mgr. Jan Křivánek, Ph.D.**

# Orální histologie a embryologie

## CVIČENÍ

### 1. praktikum

Zahájení

Karty a zasedací pořádek

Organizace cvičení

Účast a nahrazování zameškané výuky

Vedení protokolů

Zápočet

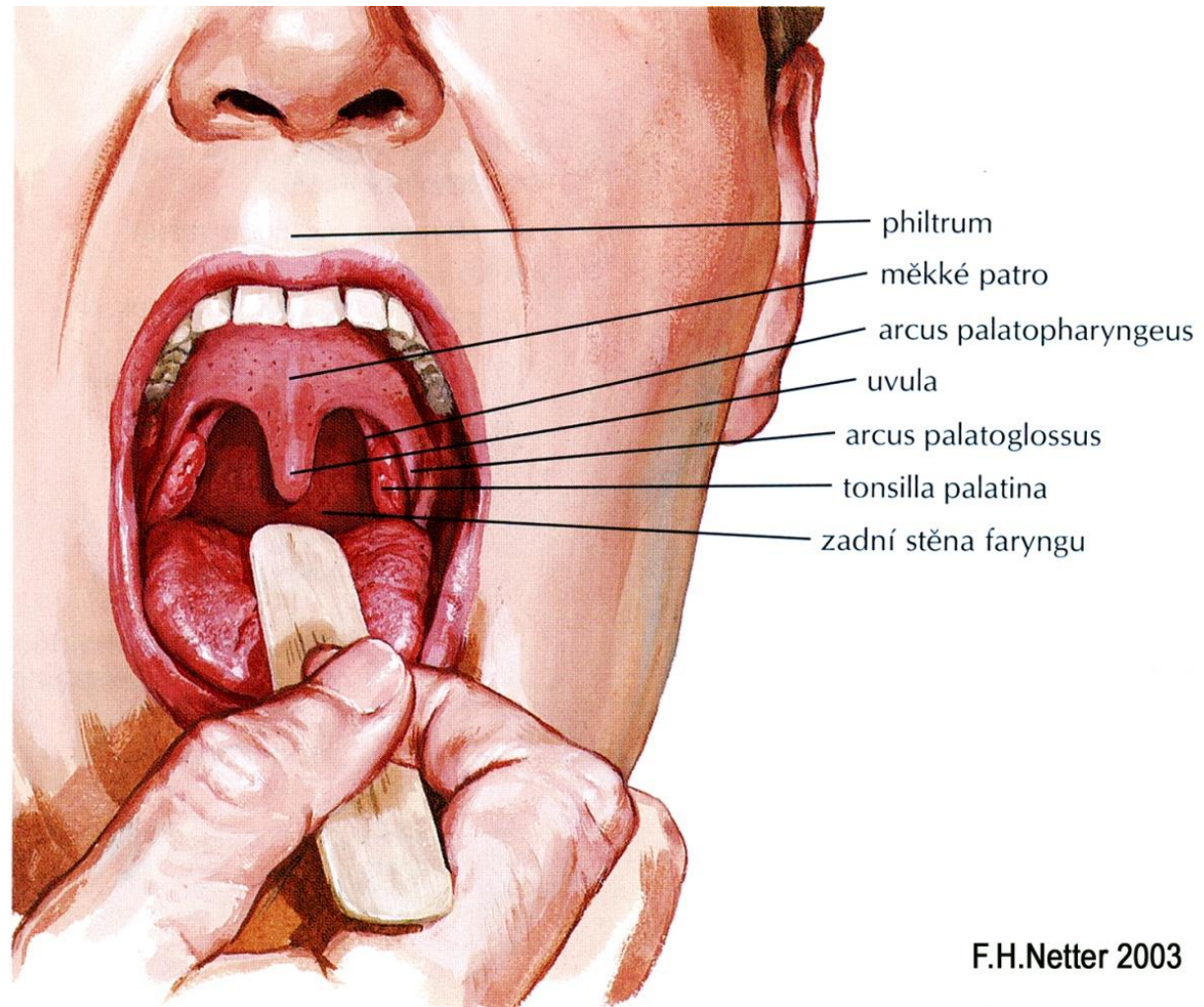
BOZP

## **Preparáty:**

- labium oris (1)
- palatum molle (5)
- apex linguae (2)
- papilla vallata (3)

# Mikroskopická stavba

Rtů  
Jazyka  
Patra  
Tváří



# DUTINA ÚSTNÍ (*cavitas oris*)

## **vestibulum oris / cavitas oris propria**

### **Stěny**

Rty, tváře, tvrdé a měkké patro a ústní přepážka (tzv. spodina ústní dutiny), vzadu skrz hltanovou úžinu spojena s orofaryngem

### **Obsah**

Jazyk, zuby, dáseň a patrová mandle

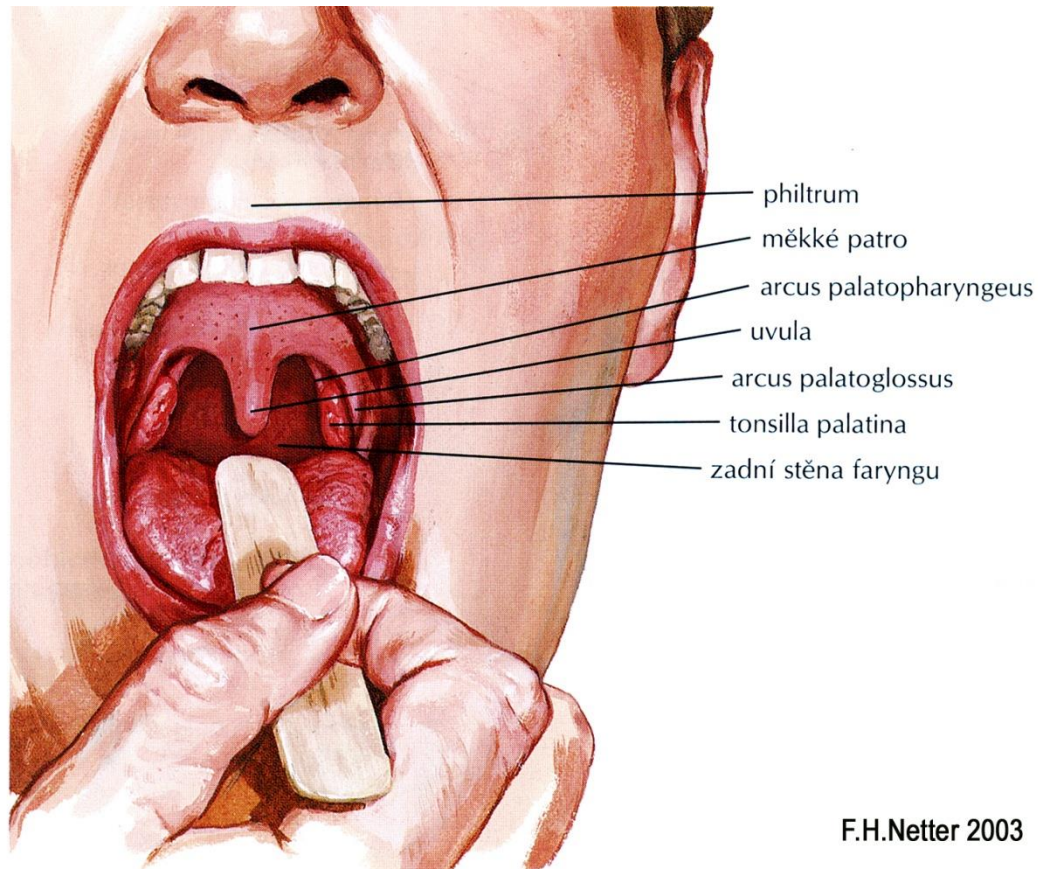
### **Velké slinné žlázy:**

podčelistní

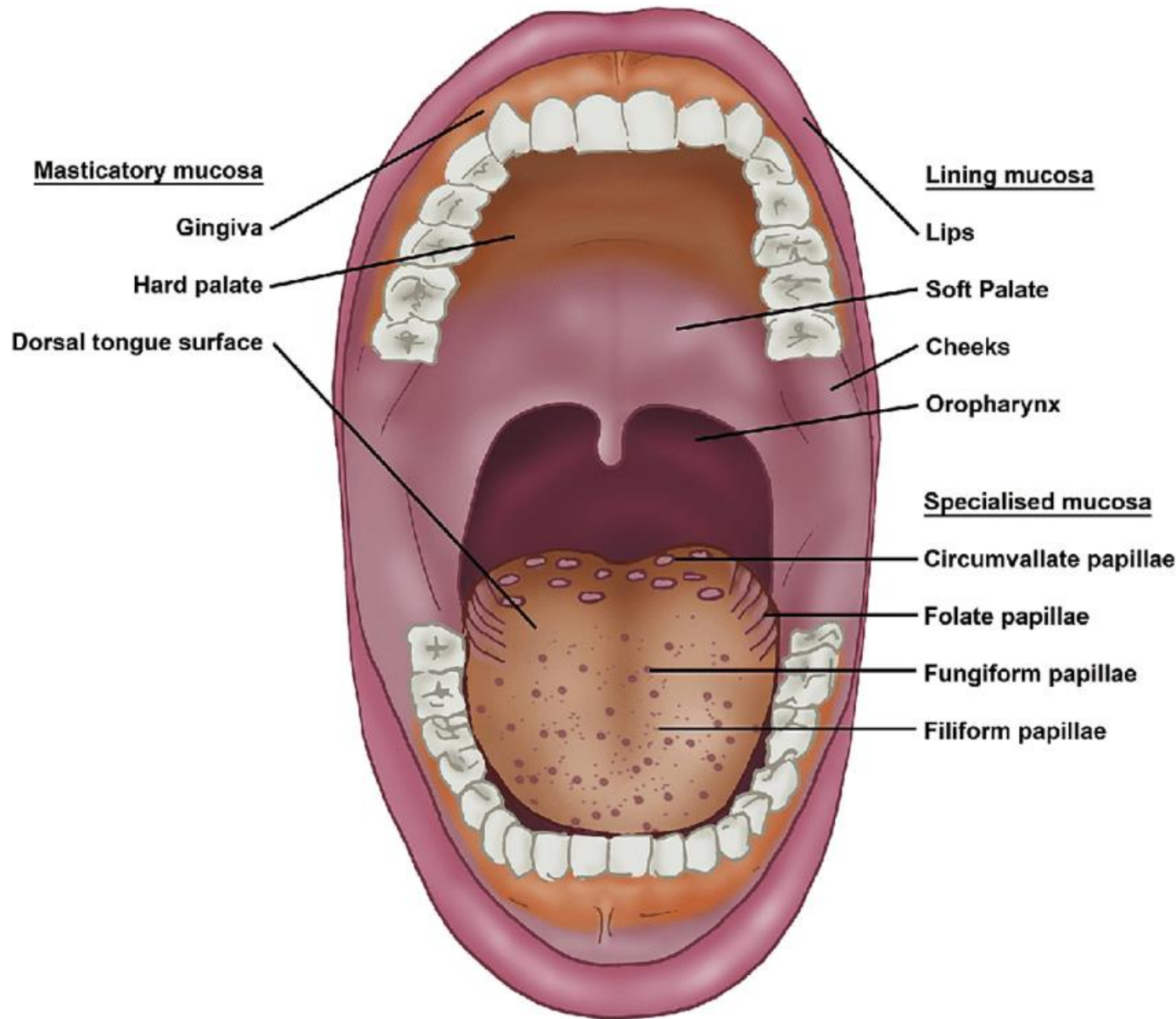
a podjazyková

(příušní uložena

vně)



# Orální sliznice



# Orální sliznice

epitel

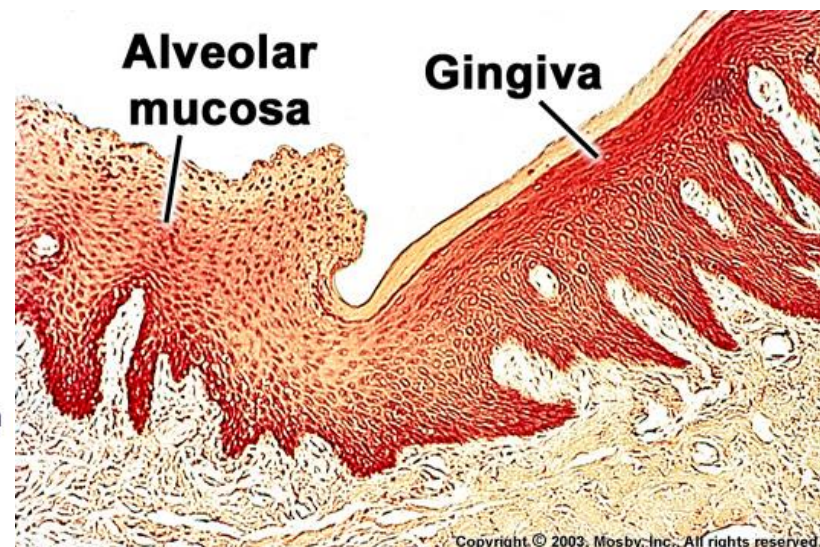
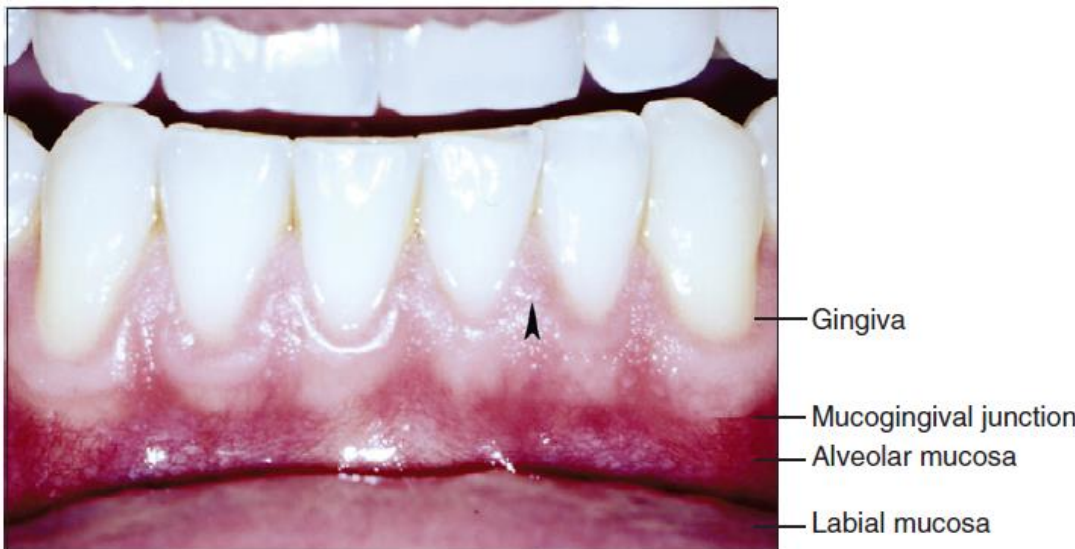
vrstevnatý dlaždicový

nerofovějící

rohovějící

- krycí typ sliznice

- mastikační typ sliznice
- specializovaná sliznice



Copyright © 2003, Mosby, Inc. All rights reserved.

## Lamina propria mucosae

Obsahuje četné melanocyty nebo melanofágy a proti epitelu vysílá **papily**, jejichž tvar, výška a hustota závisejí na mechanickém namáhání sliznice

# Klasifikace orální sliznice

## Krycího typu (65 %)

vnitřní plocha rtů a tváří, měkké patro, spodní stranu jazyka, spodinu dutiny ústní a alveolární výběžky

lamina propria z řídkého kolagenního vaziva, mezi sliznicí a podkladem vsouvá tela submucosa, sliznice je proti podkladu v omezené míře posunlivá

## Mastikačního typu (25 %)

tvrdé patro a dáseň

epitel je zrohovělý

tela submucosa chybí

lamina propria z hustého kolagenního vaziva neuspořádaného typu a pevně srůstá s periostem (mukoperiost)



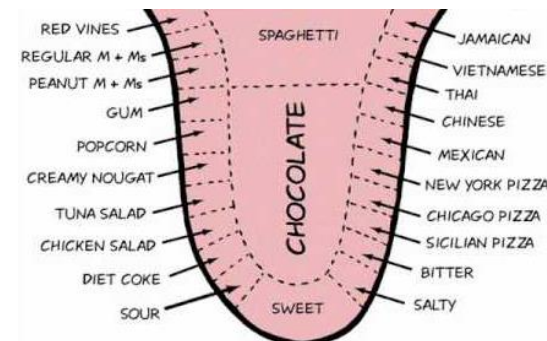
## Specializovaná (10 %)

hřbet jazyka



členěna v papily, epitel částečně zrohovělý, chybí tela submucosa –

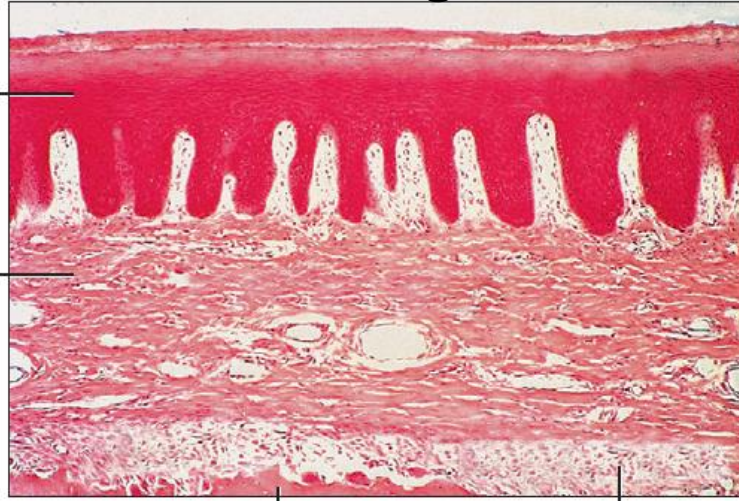
lamina propria přirostlá k aponeurosis linguae



AREAS OF THE HUMAN TONGUE

# Gingiva

B



# Ret

Epithelium

Loose CT

Salivary gland

( Submucosa )

Epitel

Mukóza  
(sliznice)

Lamina  
propria

Tela submucosa

## Orální sliznice mastikačního typu

- *Lamina propria* z hustého kolagenního vaziva neuspořádaného
- Pevně srůstá s periostem (mukoperiost)

## Orální sliznice krycího typu

- *Lamina propria* z řídkého kolagenního vaziva
- Mezi sliznicí a podklad vsouvá *tela submucosa*
- Sliznice je proti podkladu v omezené míře posunlivá

**B**, In histologic sections, the **gingival** epithelium is seen to be tightly bound to bone by a dense fibrous connective tissue (CT), whereas the epithelium of the **lip (C)** is supported by a much looser connective tissue.

# Regenerace orální sliznice

Doba obnovy epitelu:

4 - 24 dnů

Výrazné místní rozdíly

Epitelový úpon (Gottliebova manž.)

4-6 dnů

Epitel gingiva affixa (mastikační sliznice)

10 dnů

Chutové pohárky

10 - 14 dnů

Krycí epitel sliznice rtů a tváří

14 dnů

Krycí epitel sliznice spodiny ústní

20 dnů

Mastikační epitel sliznice tvrdého patra

24 dnů

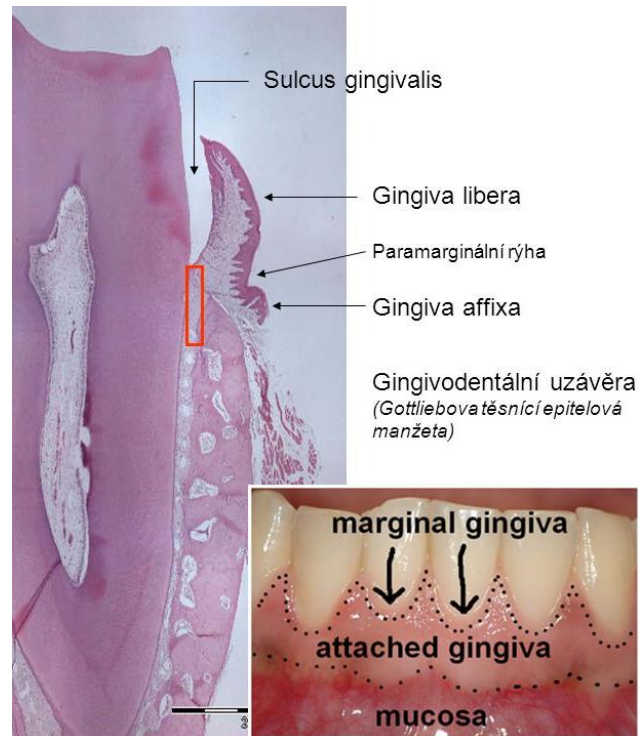
*Epidermis obličeje a přední strany krku*

7 dnů

*Epidermis ostatní kůže*

30 dnů

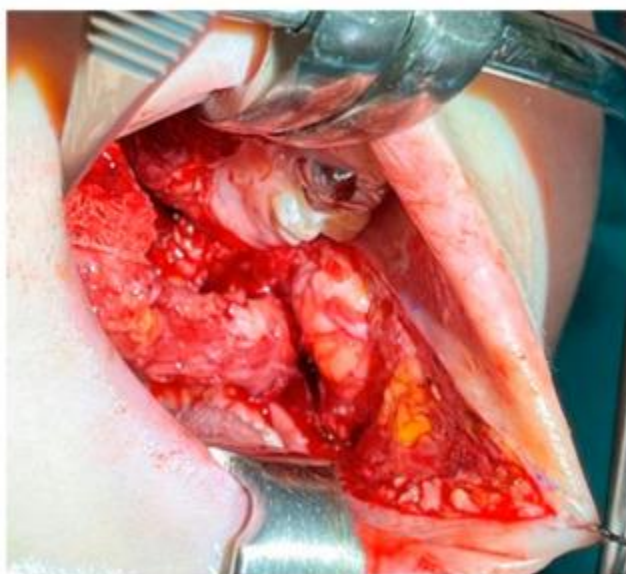
*(rychlejší obrat je vysvětlován induktivním působením ektomezenchymu)*

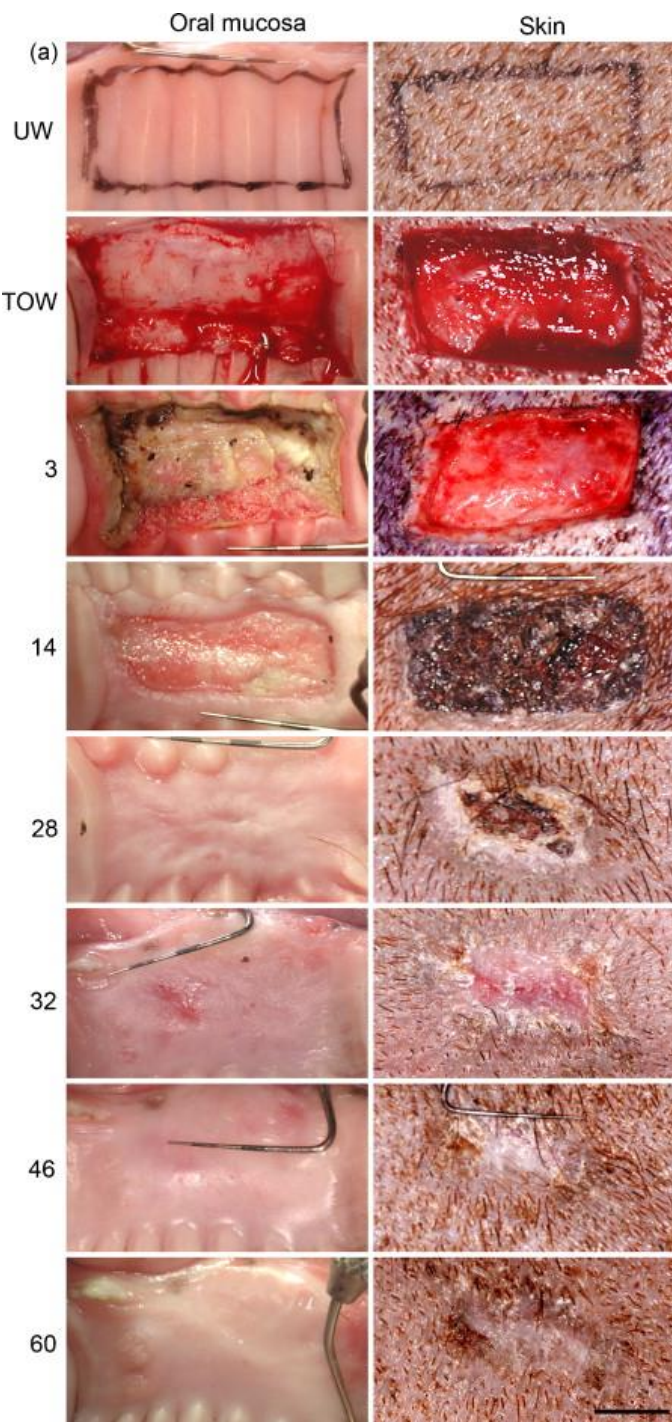


(a)



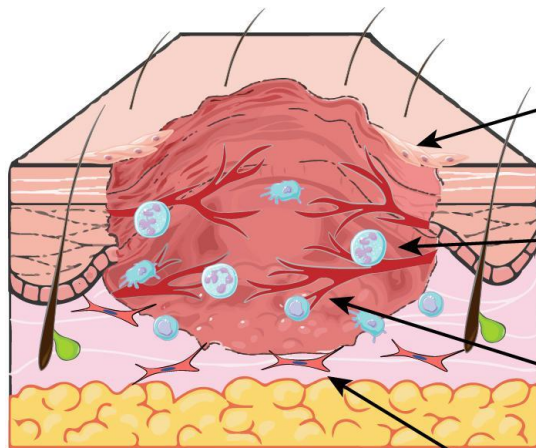
(b)





Mak, et al., 2009

## CUTANEOUS WOUND



### Epithelial cells

*Faster re-epithelialization in oral mucosa (OM)*

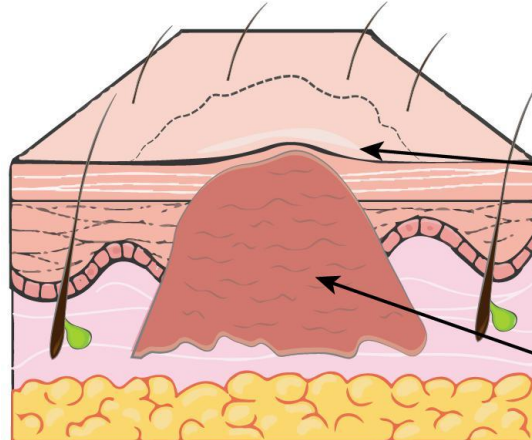
### Inflammation

*Reduced inflammation and faster resolution in OM*

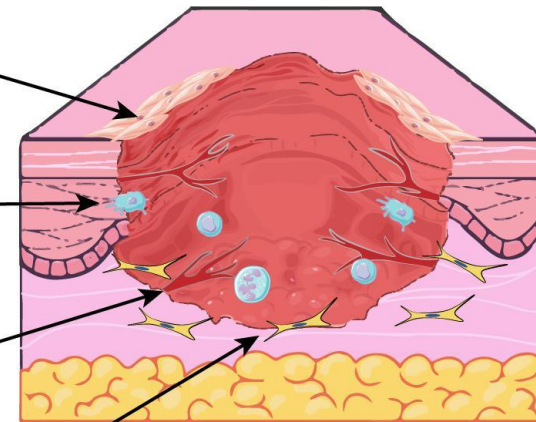
### Angiogenesis

*Decreased angiogenic response in OM*

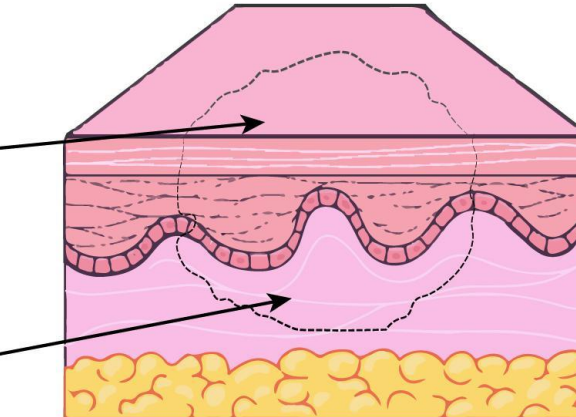
*Wound healing*



## ORAL MUCOSAL WOUND



*Wound healing*



### Gross appearance

*Healed skin forms scar that is distinct from normal tissue; OM healed wound is nearly indistinguishable from unwounded*

### ECM

*OM healed wound ECM more closely resembles unwounded skin composition and structure*

### Symbols



Epithelial cell/keratinocyte



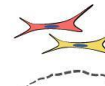
Neutrophil



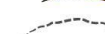
Lymphocyte



Macrophage

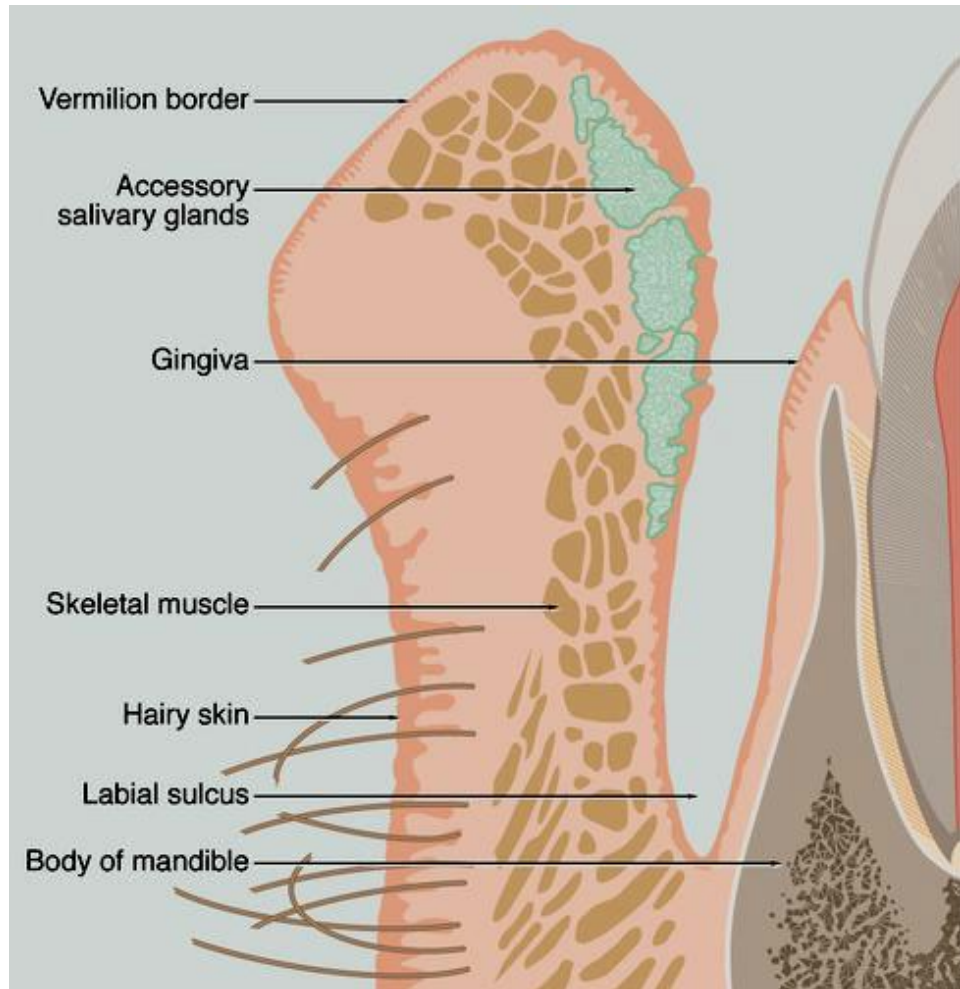
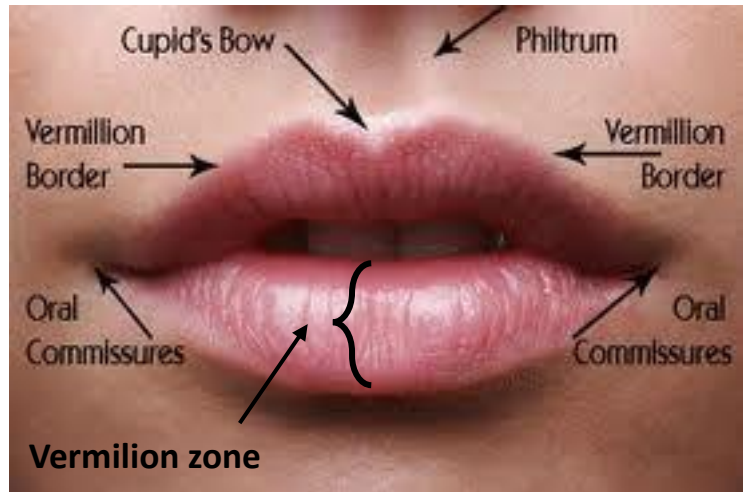


Fibroblast



Wound border

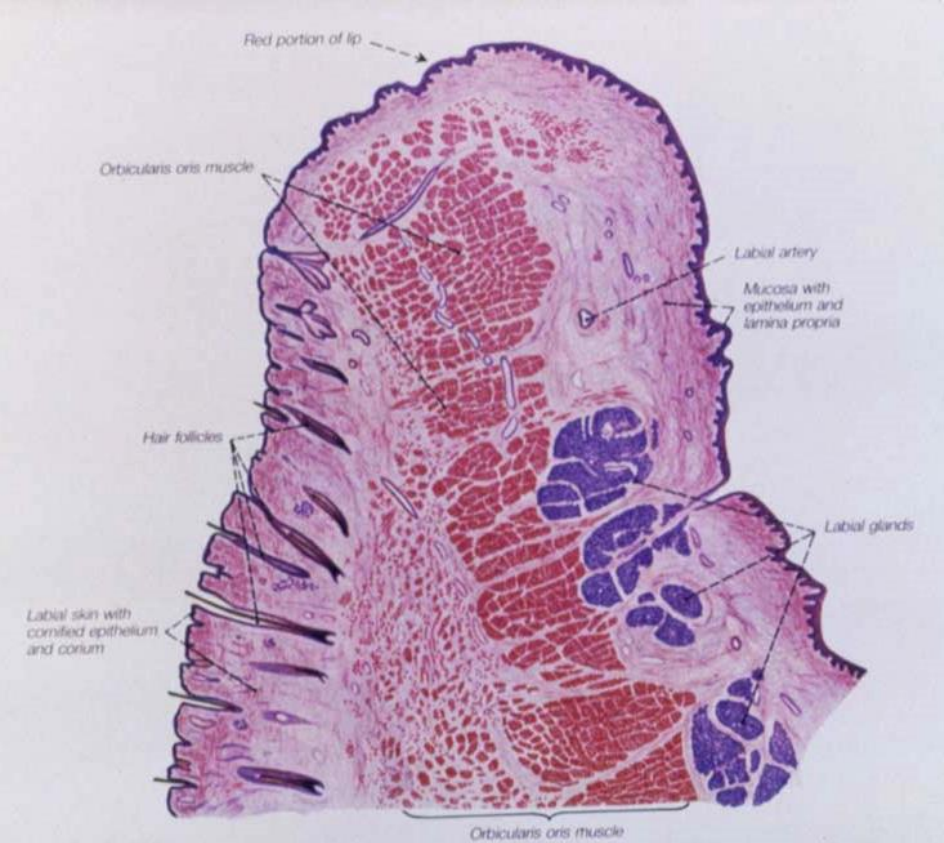
# Ret



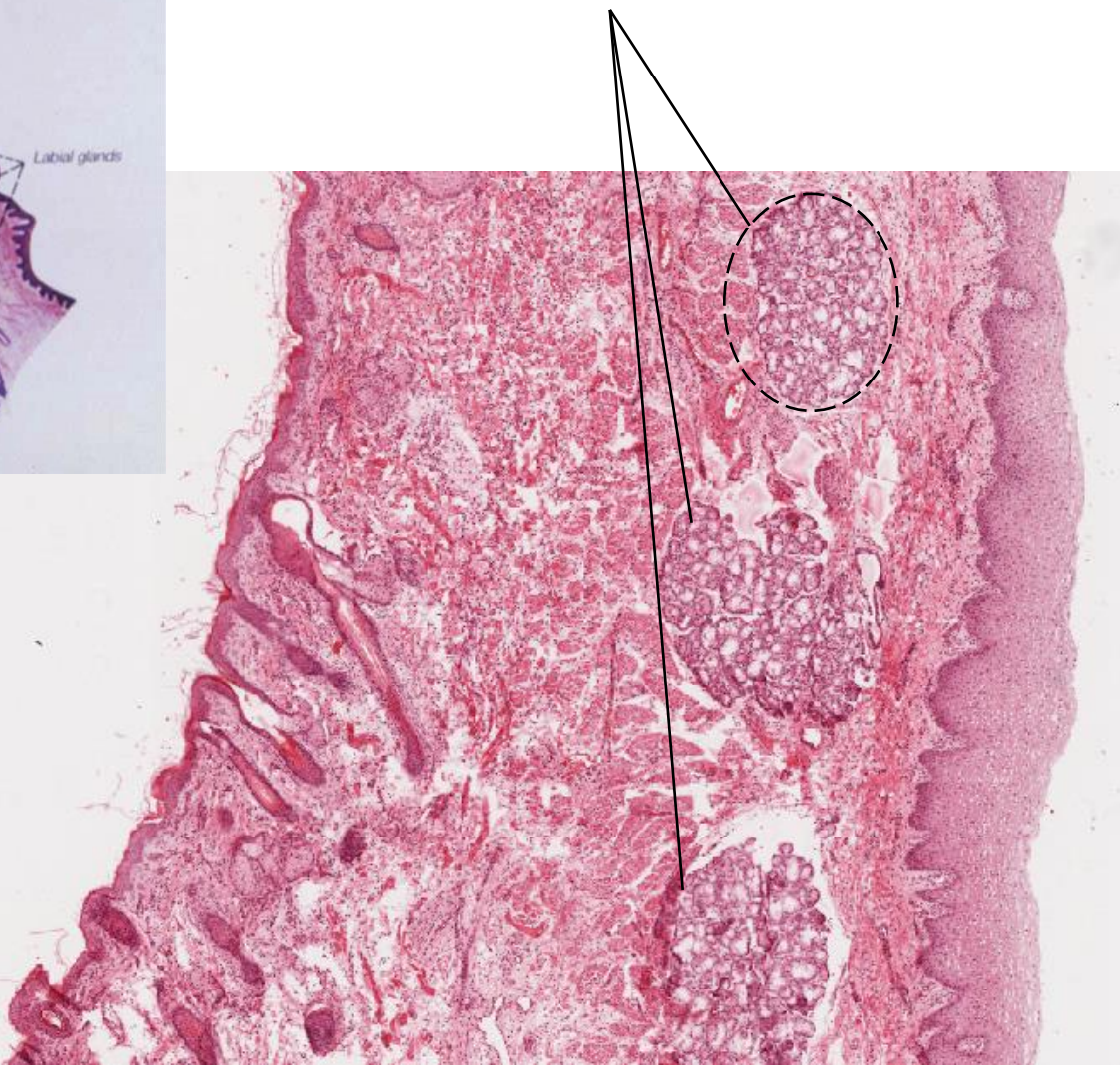
Na sagitálním řezu:

ventrální kožní strana  
dorzální slizniční strana  
podklad m. orbicularis oris  
přechodová zóna - červený lem rtu

Proč mají rty červenou barvu?



**glandulae labiales**  
(smíšené žlázy)



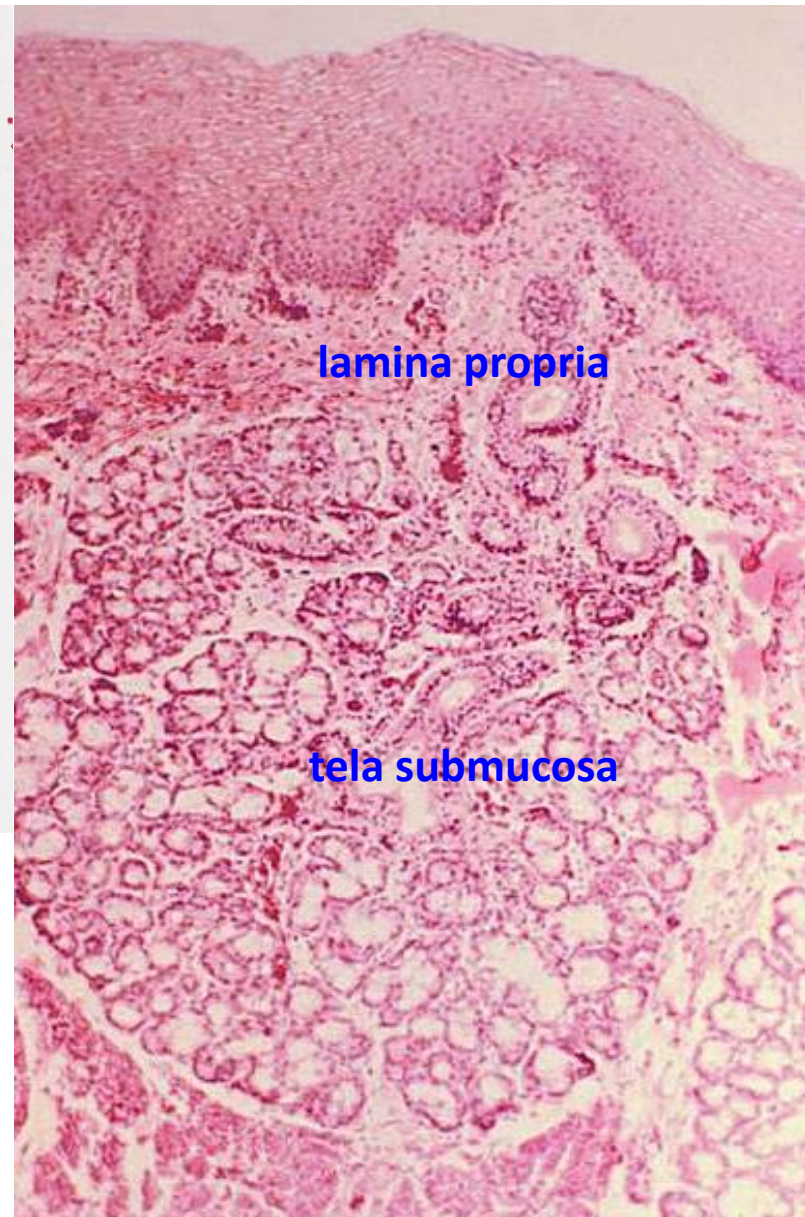
**Ret**

(kožní strana)

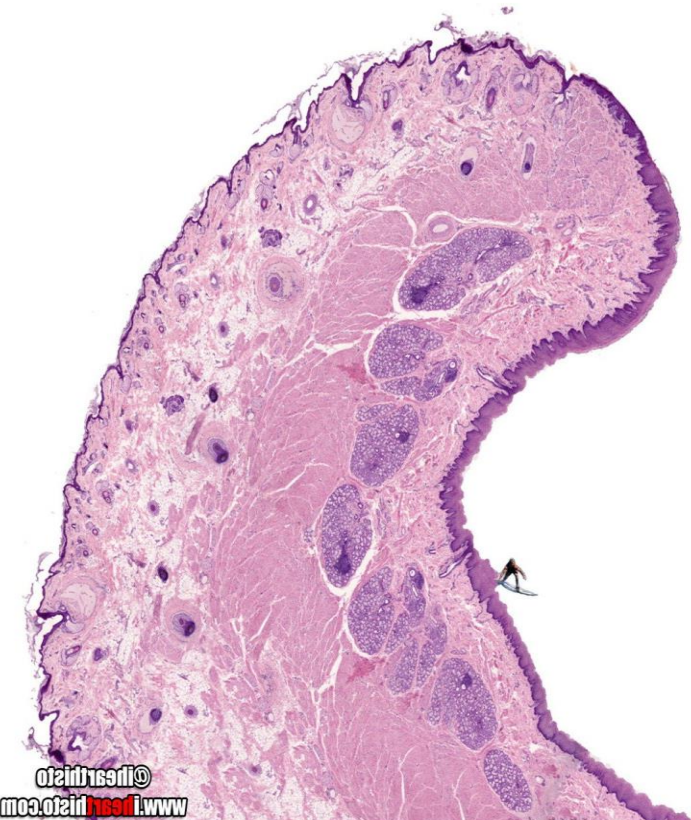


**Ret**

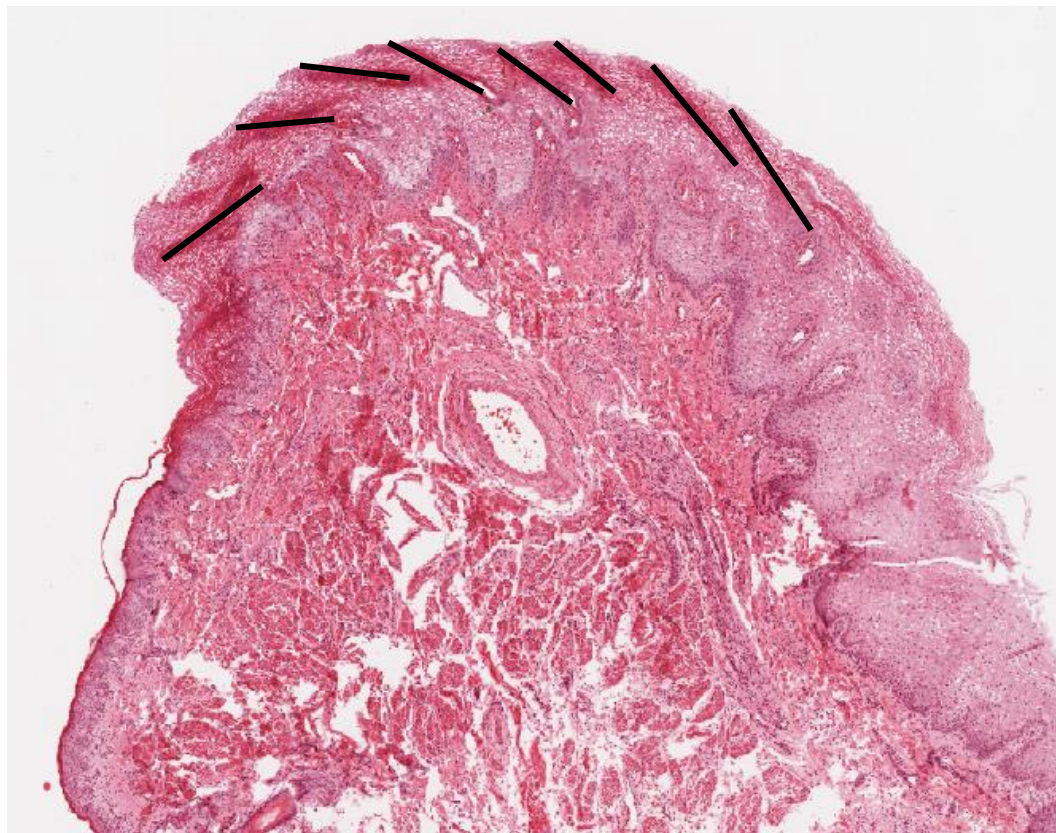
(slizniční strana)



?



Dospělec



Kojenec

# U novorozenců se červená zóna rtu dělí na:

**PG** - pars glabra      (Glabra = hladké)

**PV** - pars villosa      (Villosa = vilózní, klkovité)

(**PM** - pars mucosa)

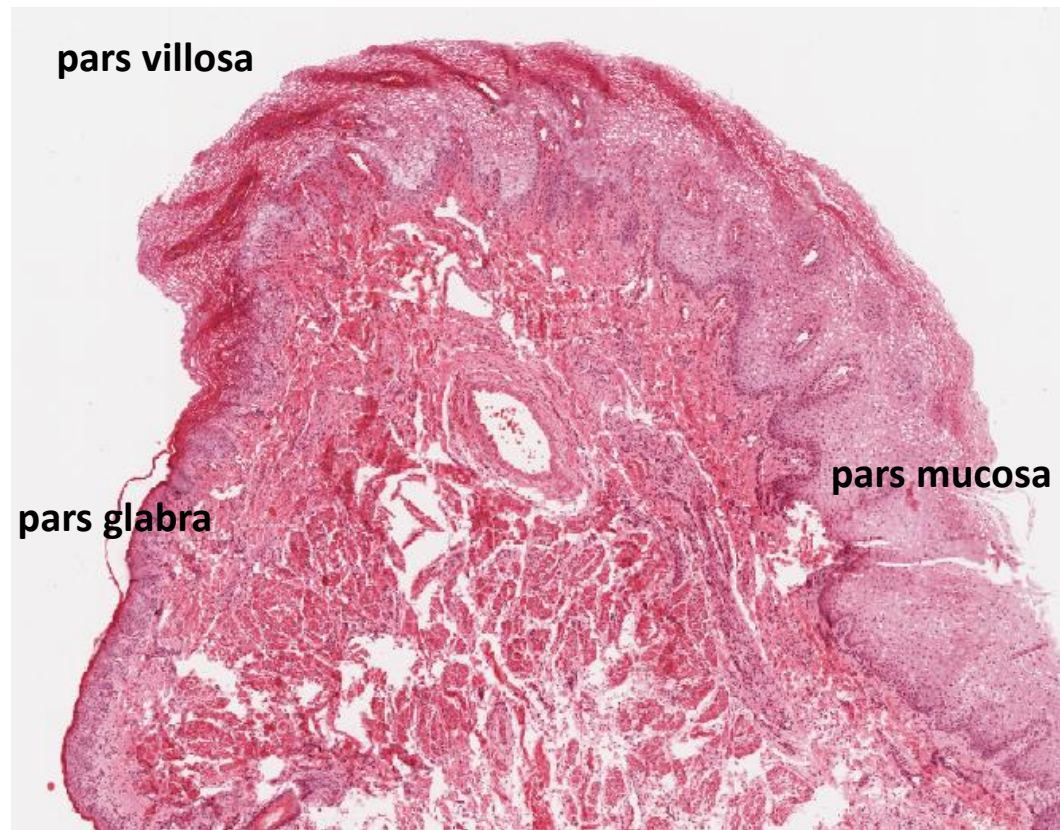
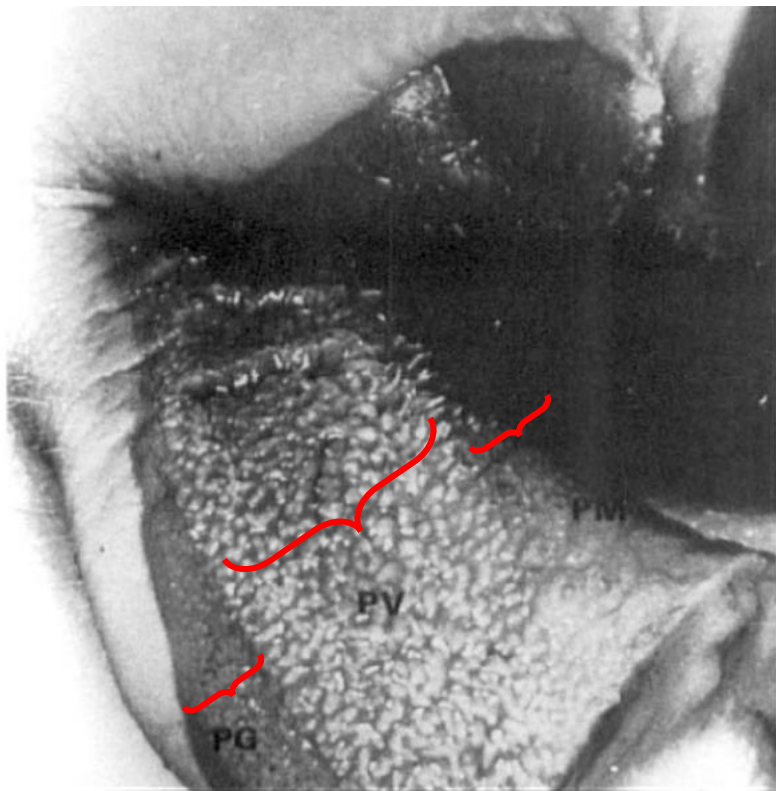


FIG. 1.10. Lips and commissure of mouth of a 39-week-old fetus.

# Červená zóna rtů u novorozenců

ventrální (kožní) a dorzální (slizniční) strana přecházejí jedna ve druhou v rozsahu červeného lemu rtů

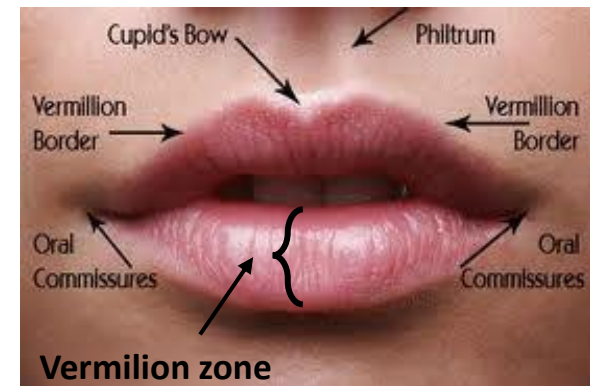
u NOVOROZENCŮ dělení na:

**pars glabra (2 mm)**

užší ventrální

**pars villosa (asi 4 mm)**

širší dorzální



## Pars glabra

- Vrstevnatý dlaždicový epitel s keratohylainovými zrny v buňkách,
- Papily lamina propria proti epitelu jsou delší než papily kůže
- V 50 % případů obsahuje malé mazové žlázy

## Pars villosa

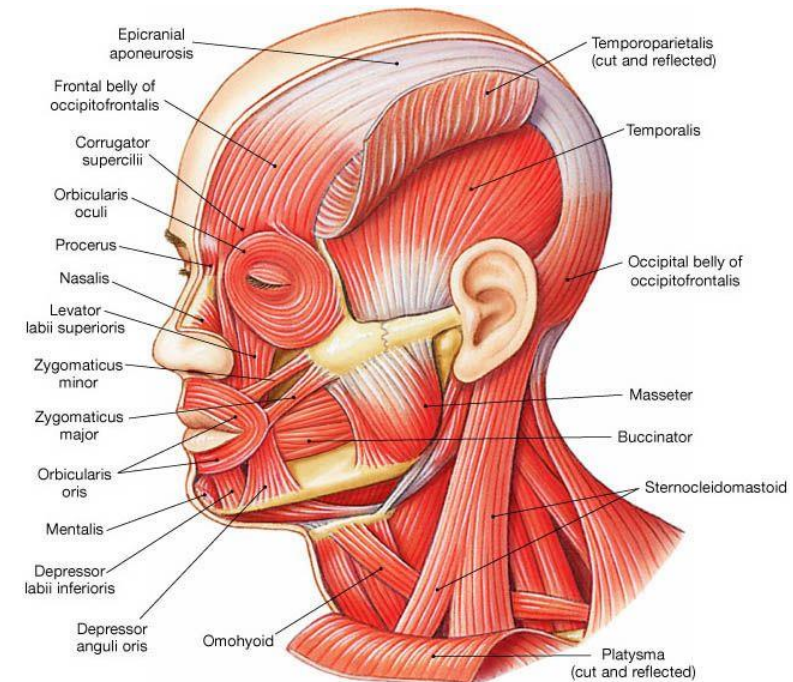
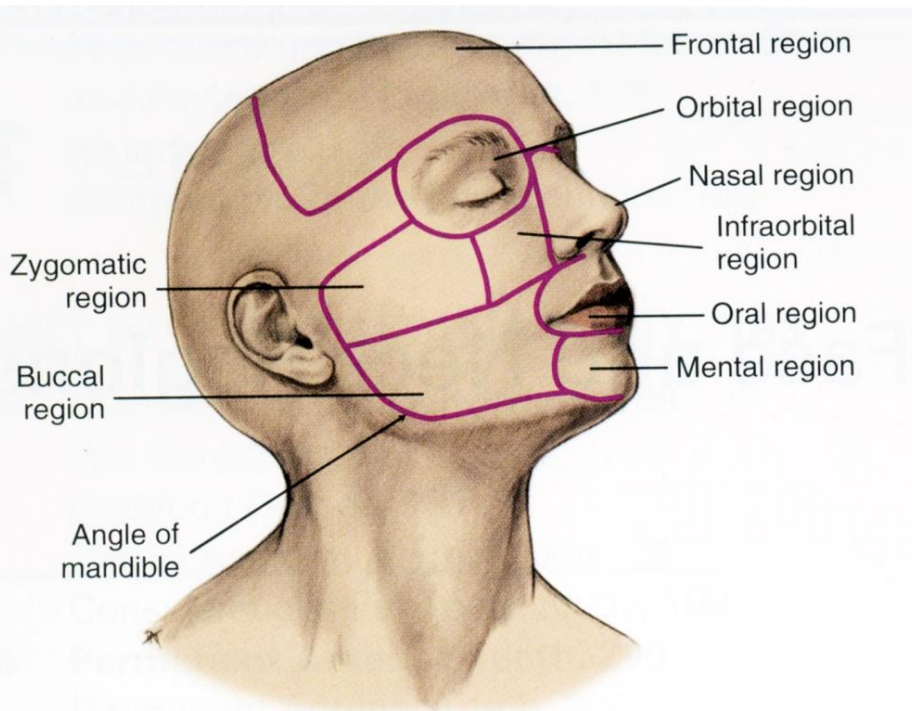
- Velmi tlustý vrstevnatý dlaždicový epitel
- Četné a štíhlé papily slizničního vaziva (podmiňují tzv. **retní val - torus labialis**)
- Papily jsou vysoce vaskularizované s četnými senzitivními nervovými zakončeními
- Po zvlhčení umožňuje pevné obemknutí bradavky při sání



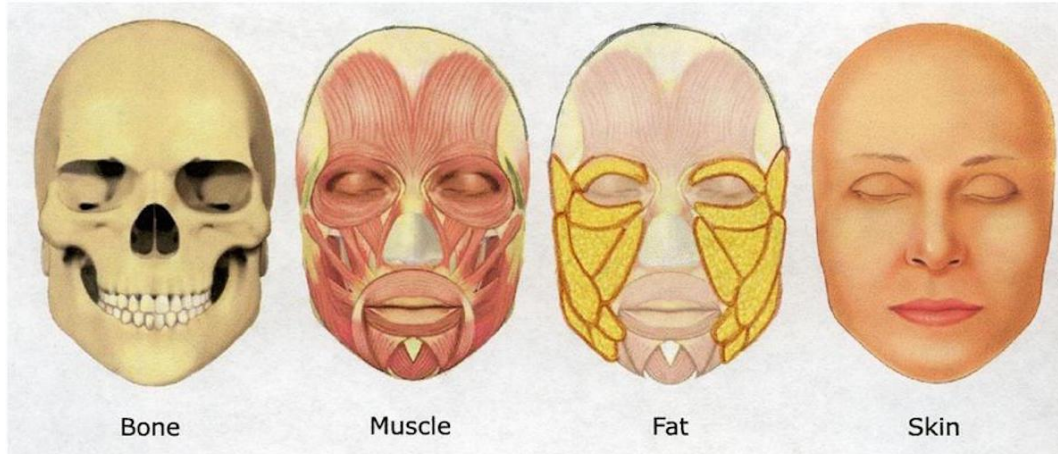
strukturní rozdíl mezi pars villosa a pars glabra postupně vymizí s věkem dítěte

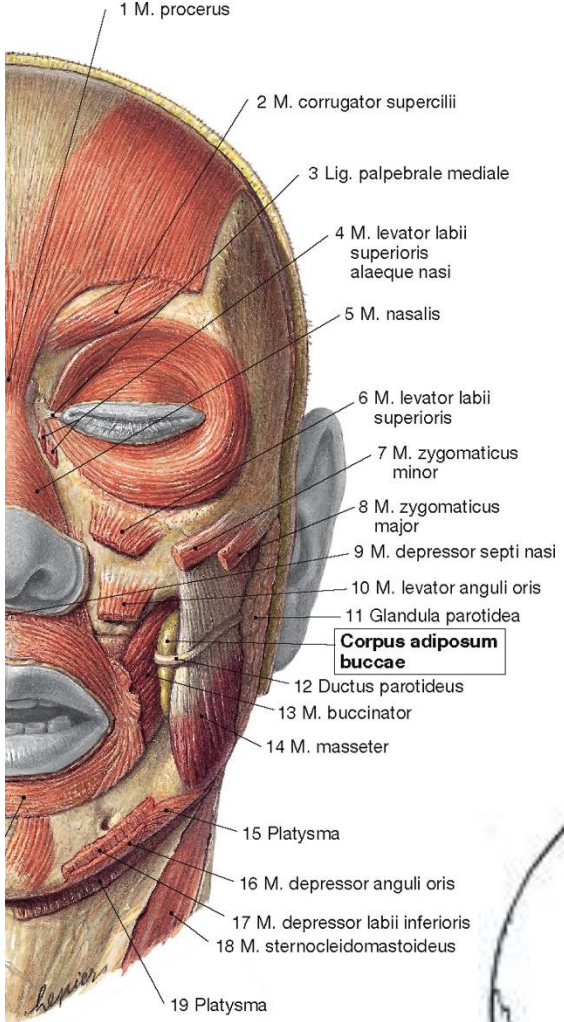
# Tvář (bucca)

Histologická stavba obdobná jako u rtu



(a) Lateral view

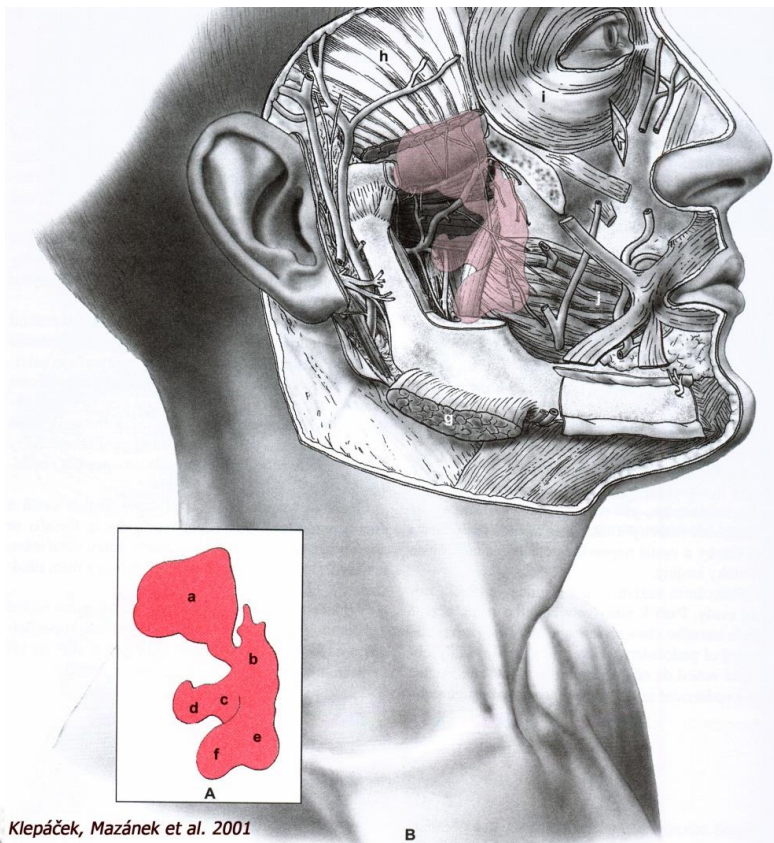
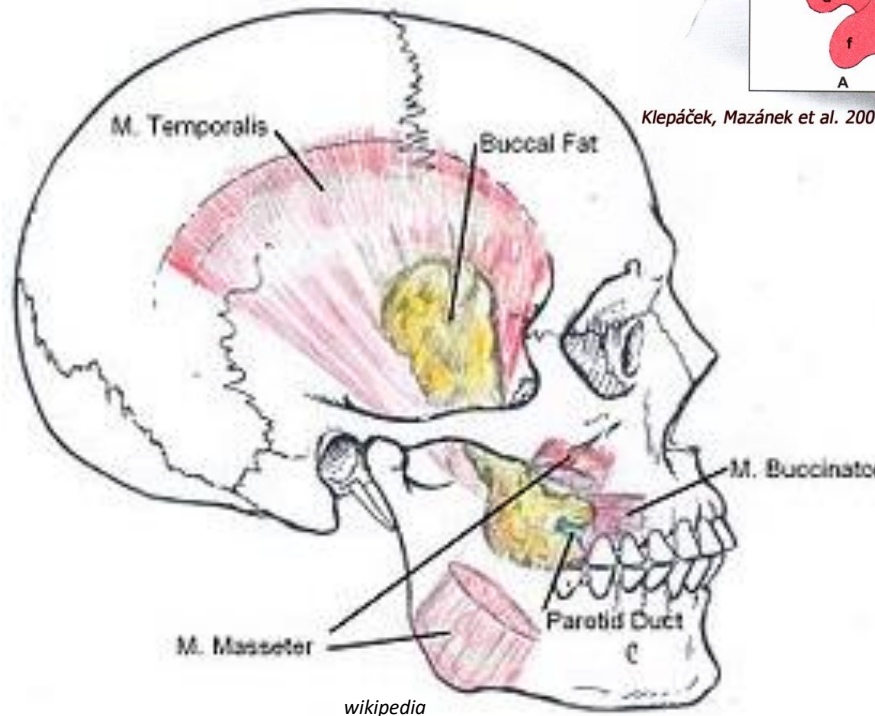




Před a nad r. mandibulae je  
mezi m. buccinator a  
m. masseter vloženo

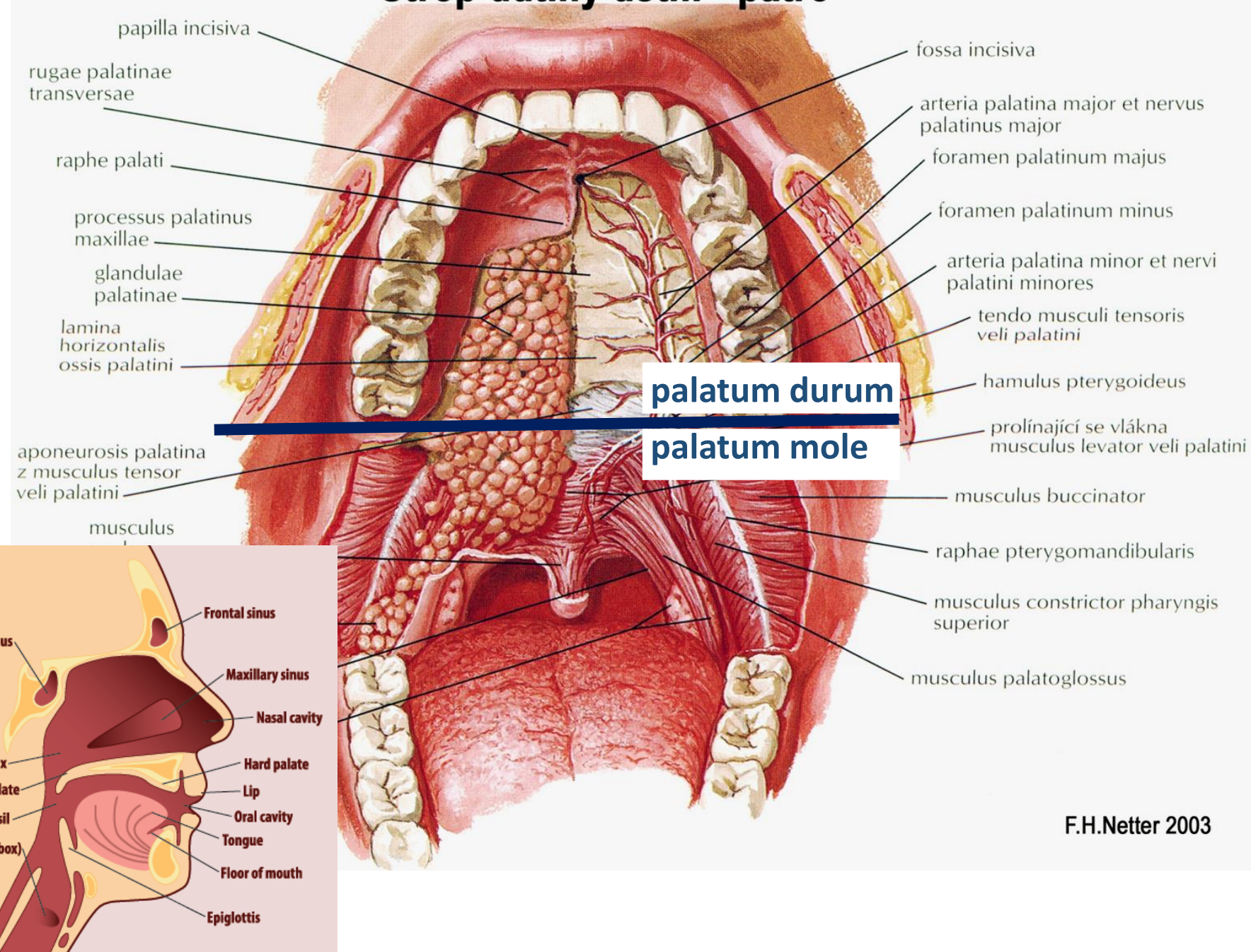
## Corpus adiposum buccae

(Bichatovo těleso)



<https://www.brainyoo.de/Brainyoo2Web/>

# Strop dutiny ústní - patro



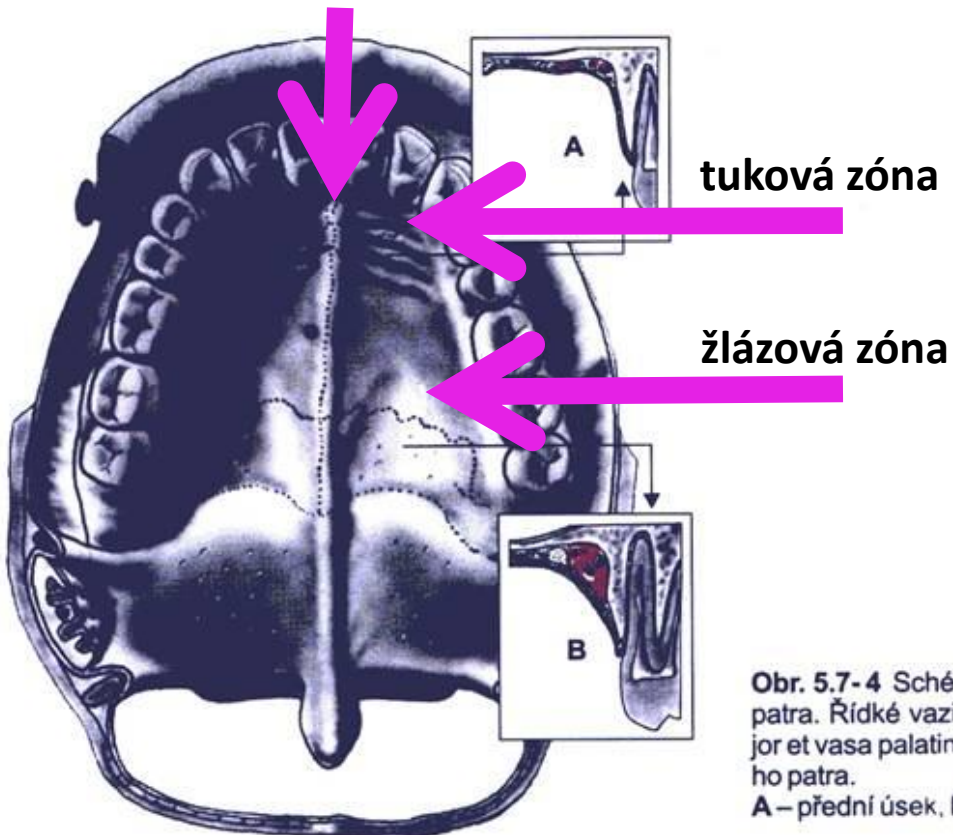
# Tvrde patro (palatum durum)

mastikační sliznice:

- vrstevnatý dlaždicový **rohovějící**
- tela submucosa chybí

velká regionální variabilita a člení se v následující oblasti:

**raphe palati** (slizniční řasa ve střední čáře patra dutiny ústní)



Obr. 5.7-4 Schéma uspořádání měkkých tkání tvrdého patra. Řídké vazivo (růžově) obsahuje *n. palatinus major* et *vasa palatina majora*. Znázorněn průběh švů tvrdého patra.  
A – přední úsek, B – zadní úsek

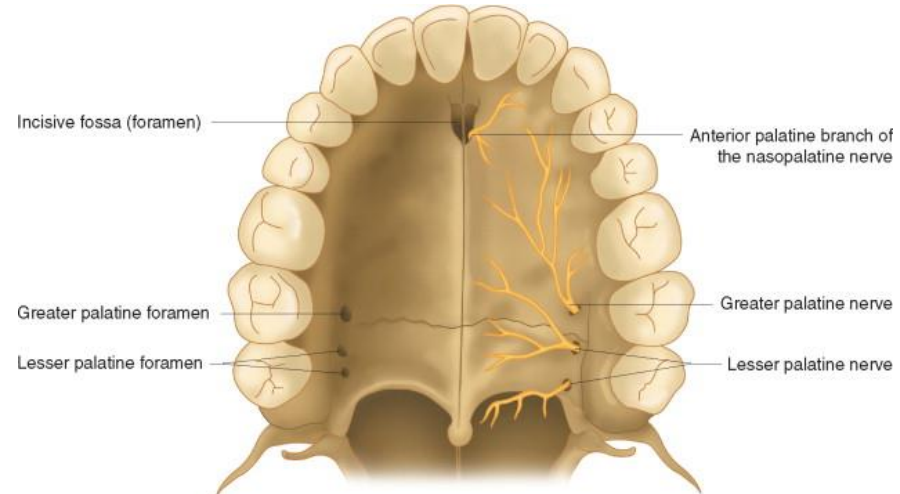
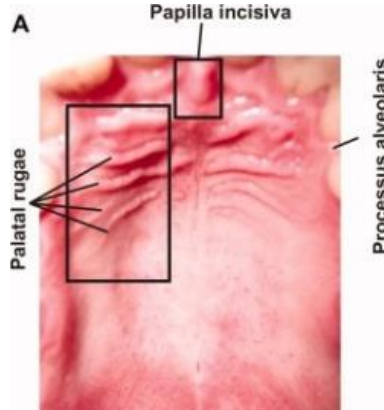
# Místní rozdíly ve skladbě sliznice tvrdého patra

## Raphe palate

- oblast střední čáry od papilla incisiva k měkkému patru, sliznice *raphe palati* bez žlázek a adipocytů

## Foramen incisivum

- Lokace na *papilla incisiva* (event. v její těsné blízkosti)
- Ve fetálním období spojení dutiny nosní a ústní
- Před porodem nebo krátce po porodu spojení zanikne

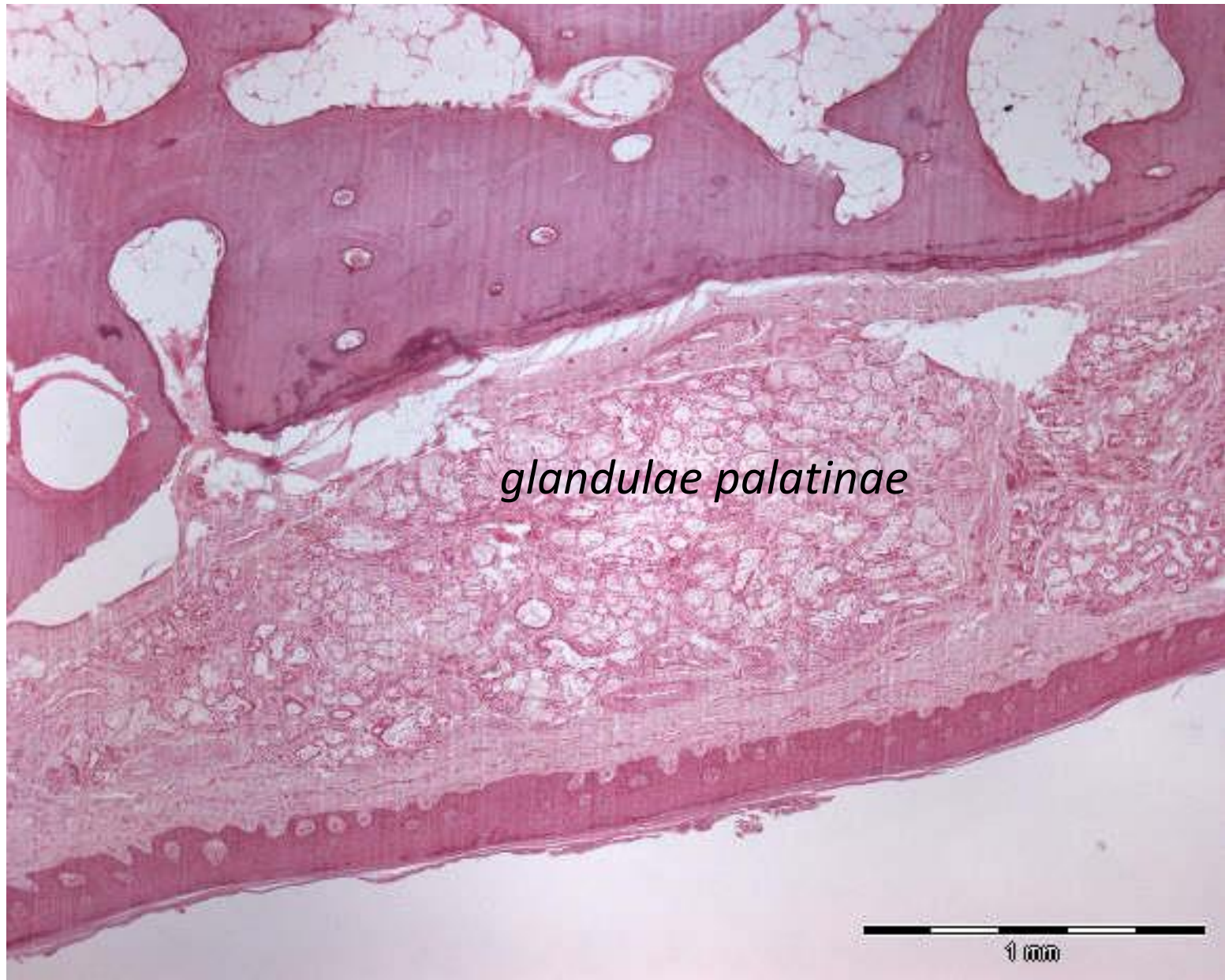


## Tuková zóna

- Párový útvar
- Mediální ohrazení tvoří papilla incisiva a přední část raphe palati, laterální dáseň a premoláry
- Sliznice je složena ve 3-5 příčně postavených řas – *plicae palatinae transversae*, jejichž podklad tvoří nakupení a proužky hustého kolagenního vaziva, mezi nimi jsou tukové buňky, někdy i tukové lalůčky

## Žlázová zóna

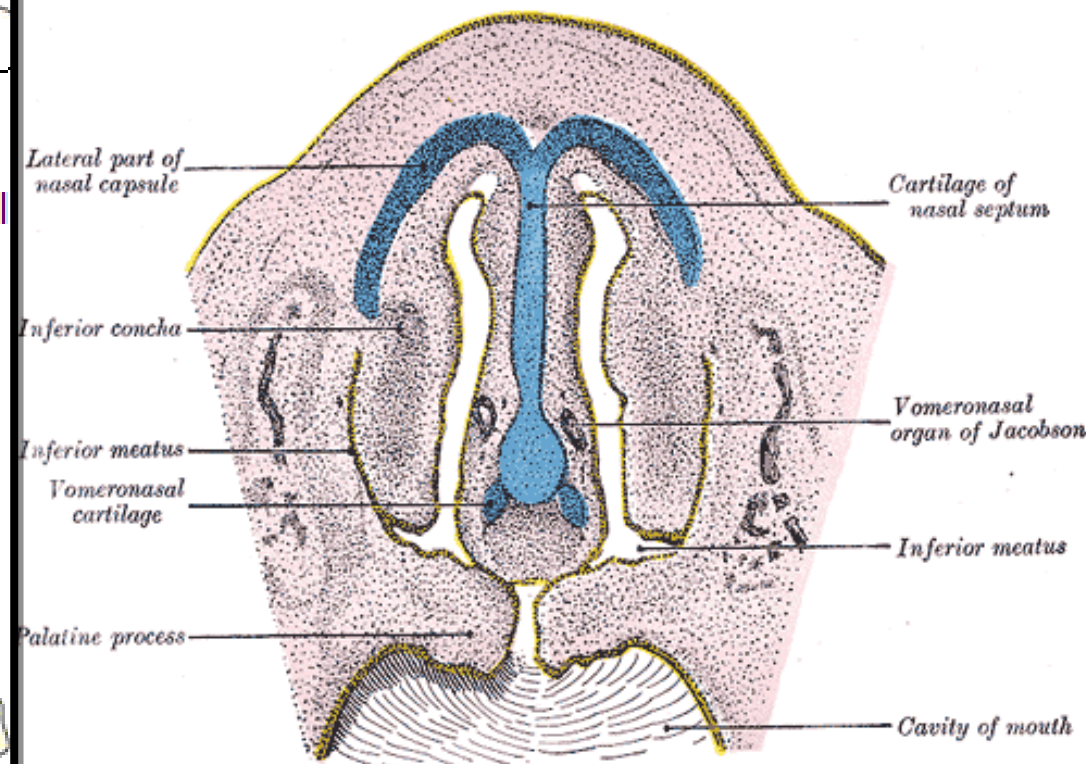
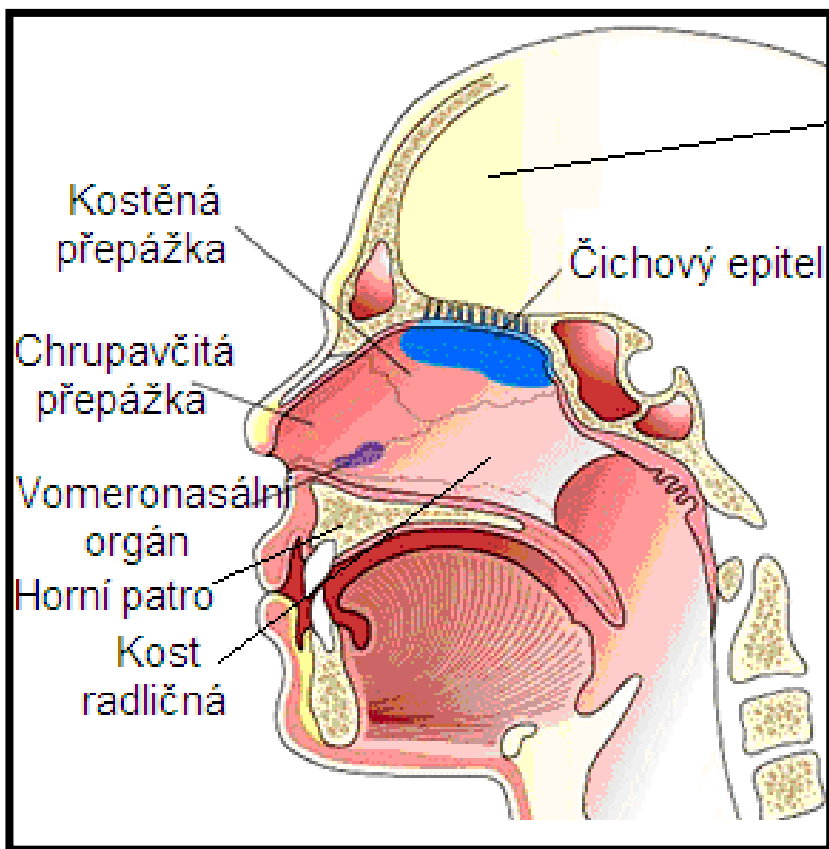
- Párový útvar
- Dorzální pokračování tukové zóny, hladká sliznice, obsahuje četné čistě mucinózní glandulae palatinae



Tvrde patro – žlázová zóna (frontální řez)

## Vomeronasální orgán (organon Jacobsoni)

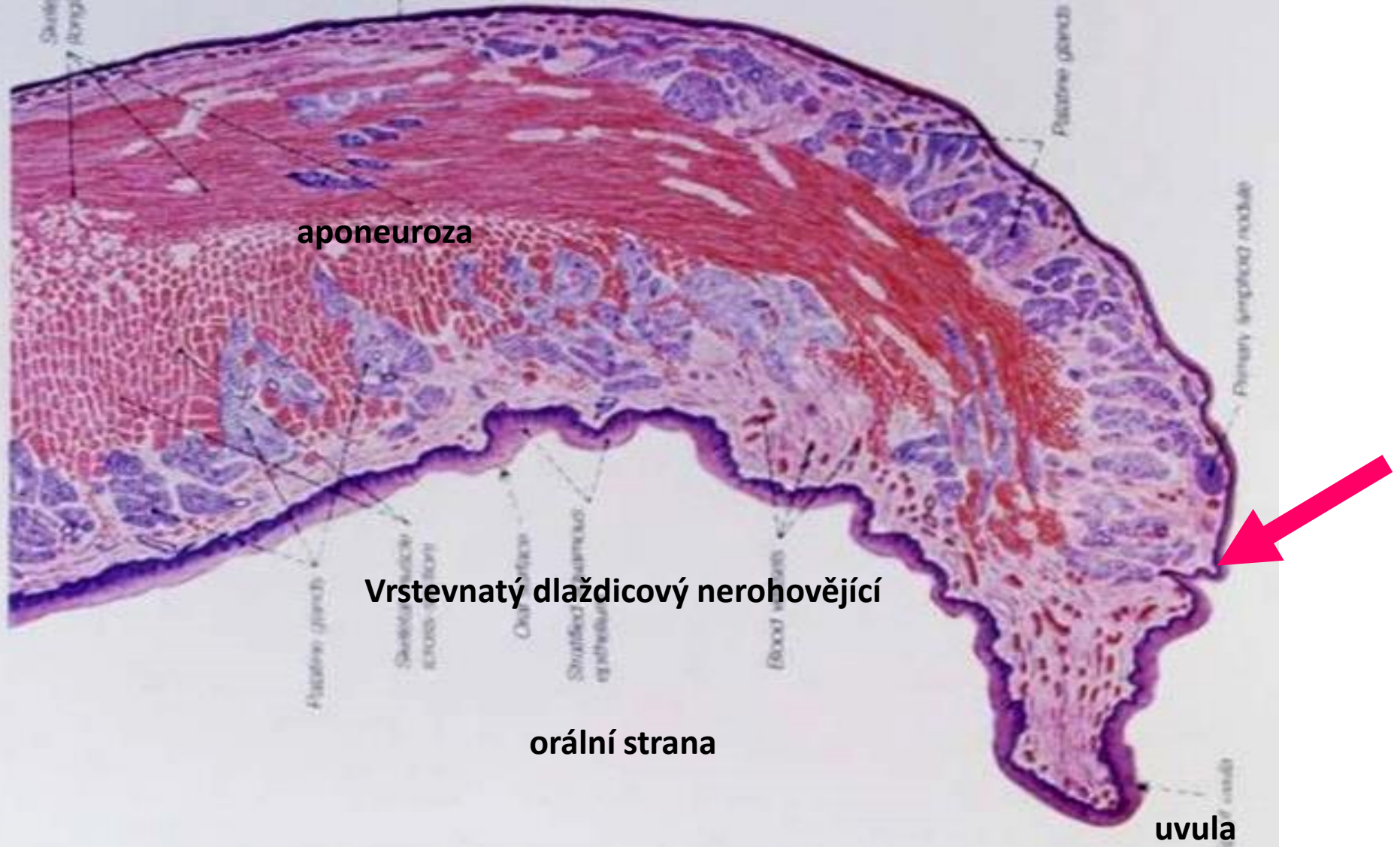
- U lidí se jedná o rudimentální orgán
- Pod sliznicí nosního septa před a nad ductus incisivus, 2-6 mm dlouhý, slepě ukončený kanálek (dosahuje až k vomeronazální chrupavce)
- Dobře vyvinut u nižších obratlovců a některých savců. U plazů se jedná o důležitý čichový orgán.
- Chemoreceptory



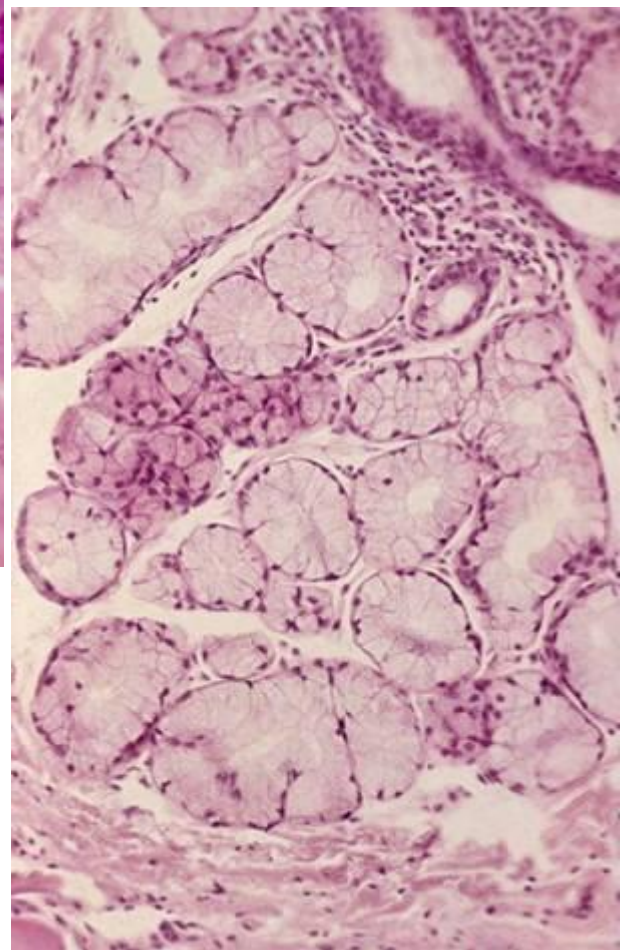
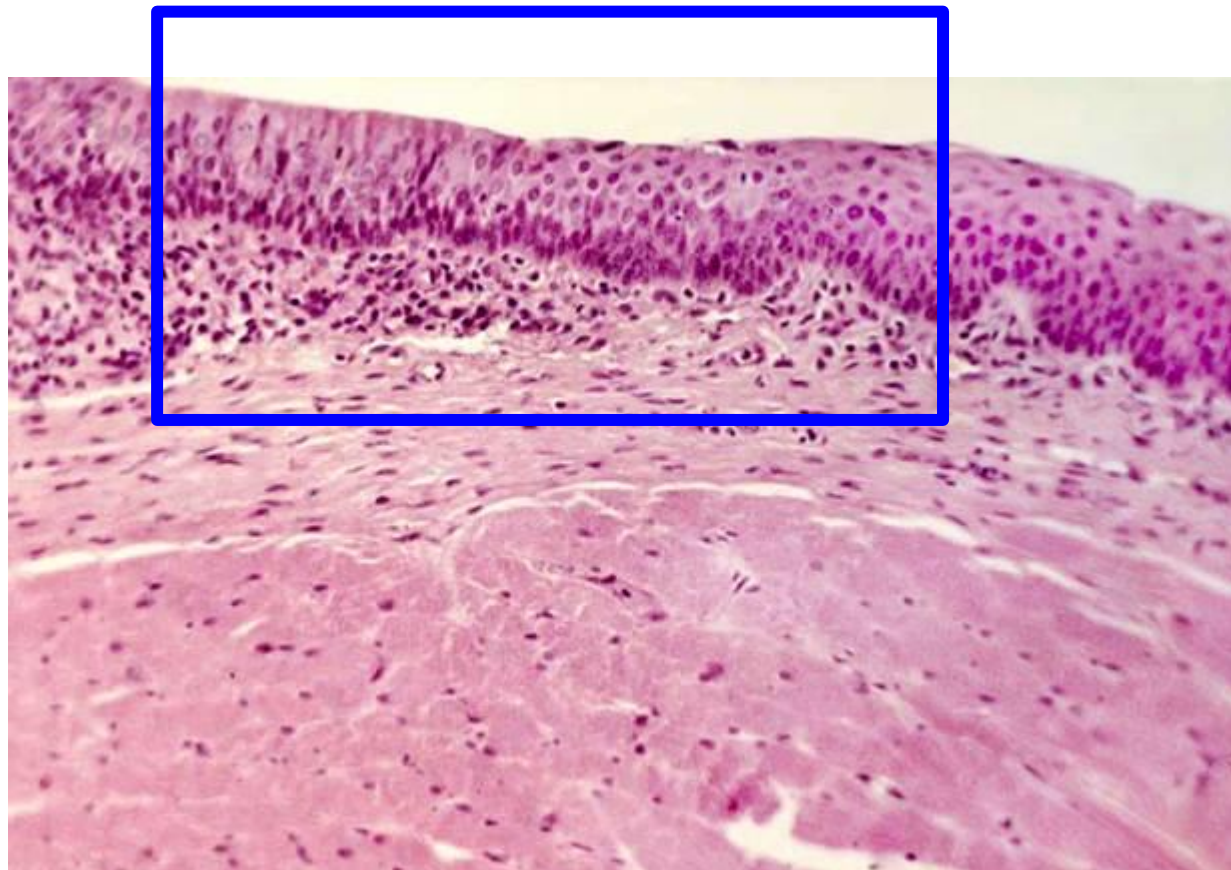
# Měkké patro (palatum molle)

nazální strana

Víceřadý cylindrický (pseudostratified)



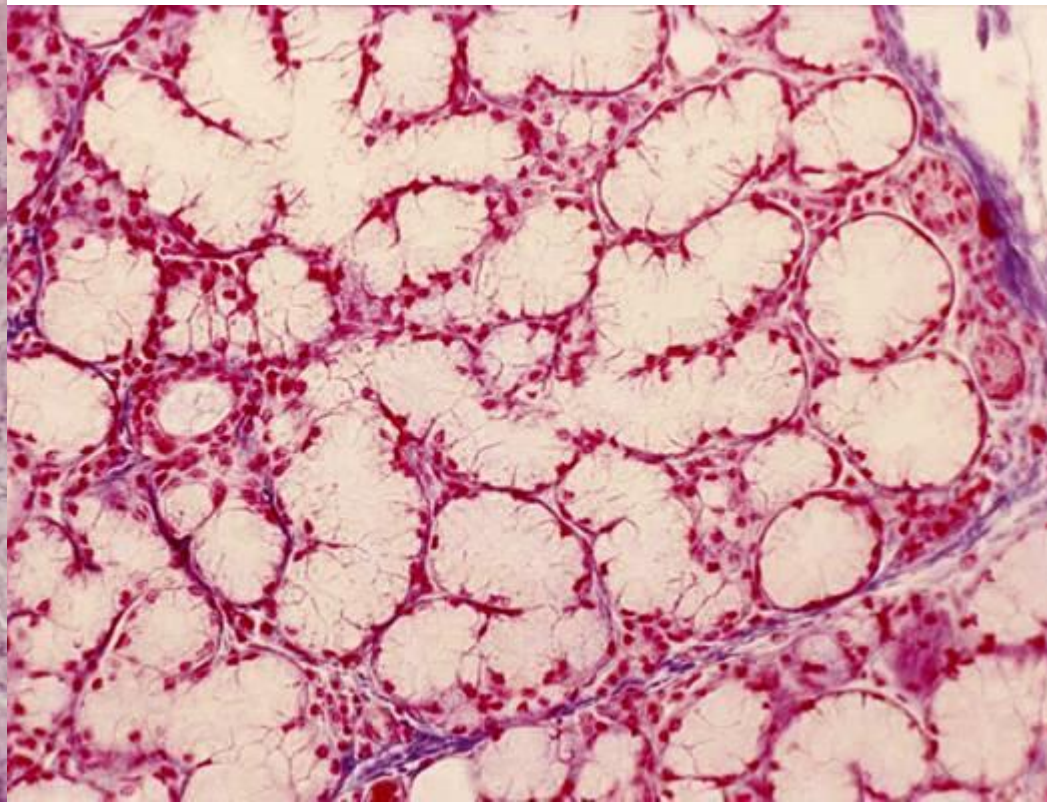
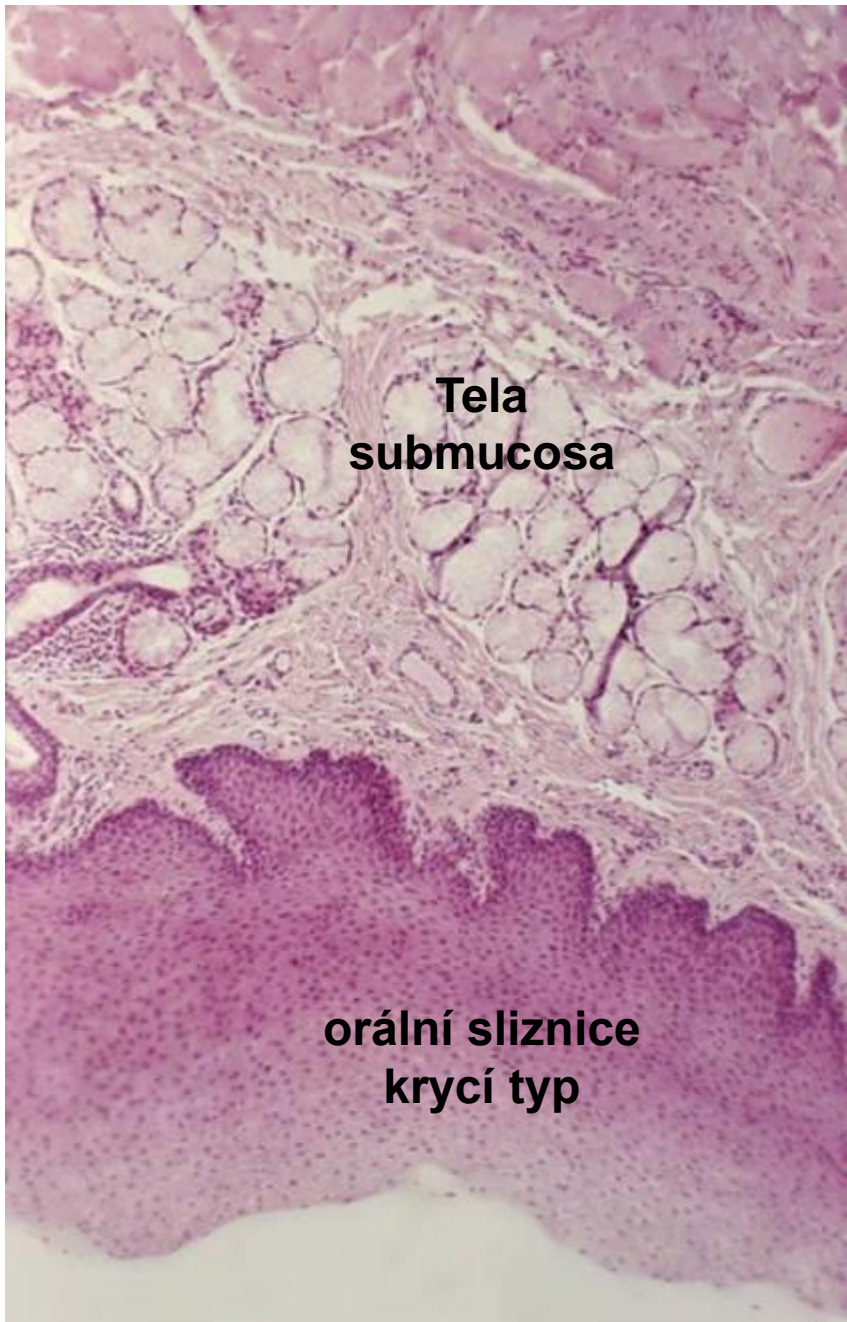
Přechod epitelů na nazofaryngové straně



Smíšené gll. nasales  
(nasální strana)

Tela  
submucosa

orální sliznice  
krycí typ



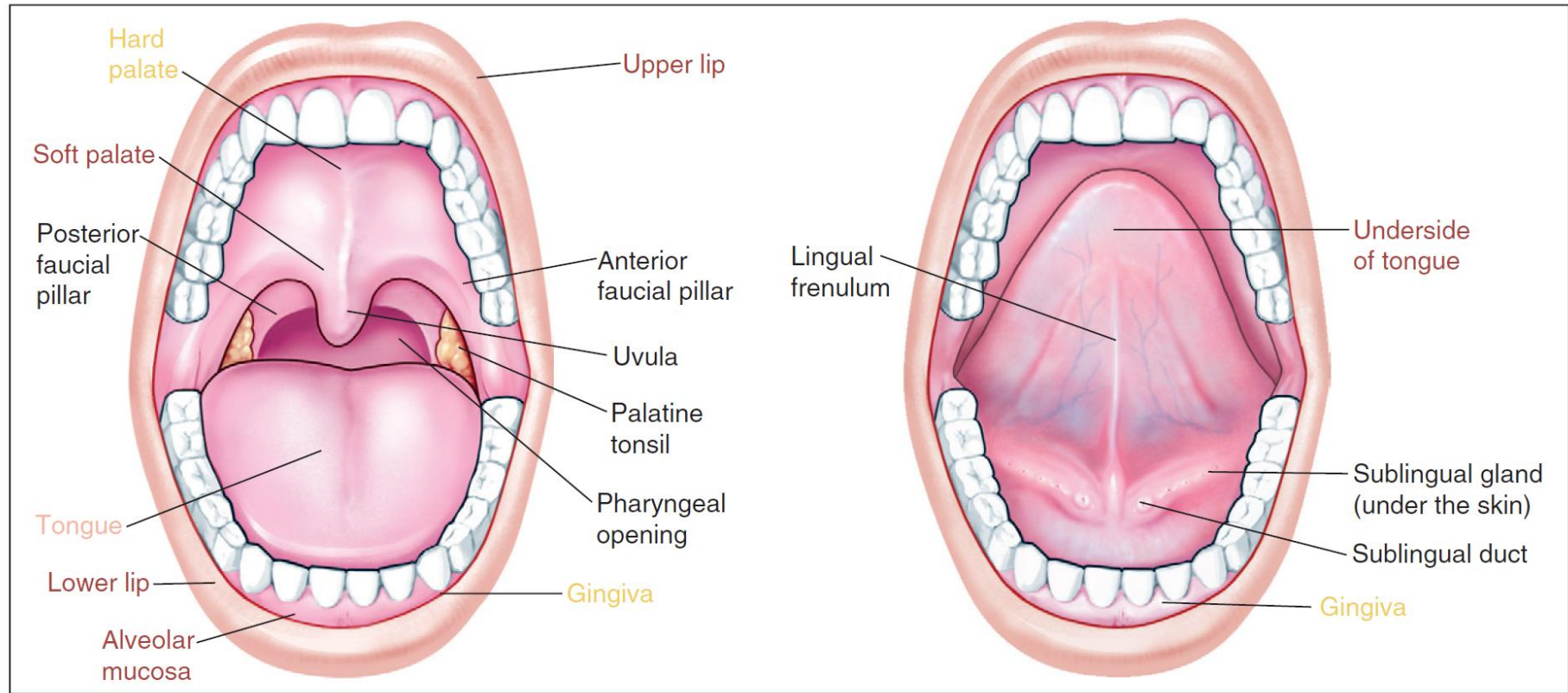
*gll. palatinæ*

## Měkké patro (palatum molle)

- pohyblivá slizniční řasa, zakončená čípkem – *uvula* (ř. *staphylos*)
- směřuje distálně mezi nazální a orální část hltanu

Podklad - ***aponeurosis palatina***, složená ze šlachových úponů svalových a snopců příčně pruhovaných vláken (hlavně *m. tensor veli palatini*)

- **nazální strana** - sliznice dýchacích cest + submukóza se smíšenými žlázkami (*glandulae nasales*)
- **orální strana** - krycí typ orální sliznice, přesah na krátkou vzdálenost přes okraj uvuly na nazální stranu, mezi sliznicí a aponeurózou podslizniční vazivo s čistě mucinózními žlázkami (*glandulae palatinae*)

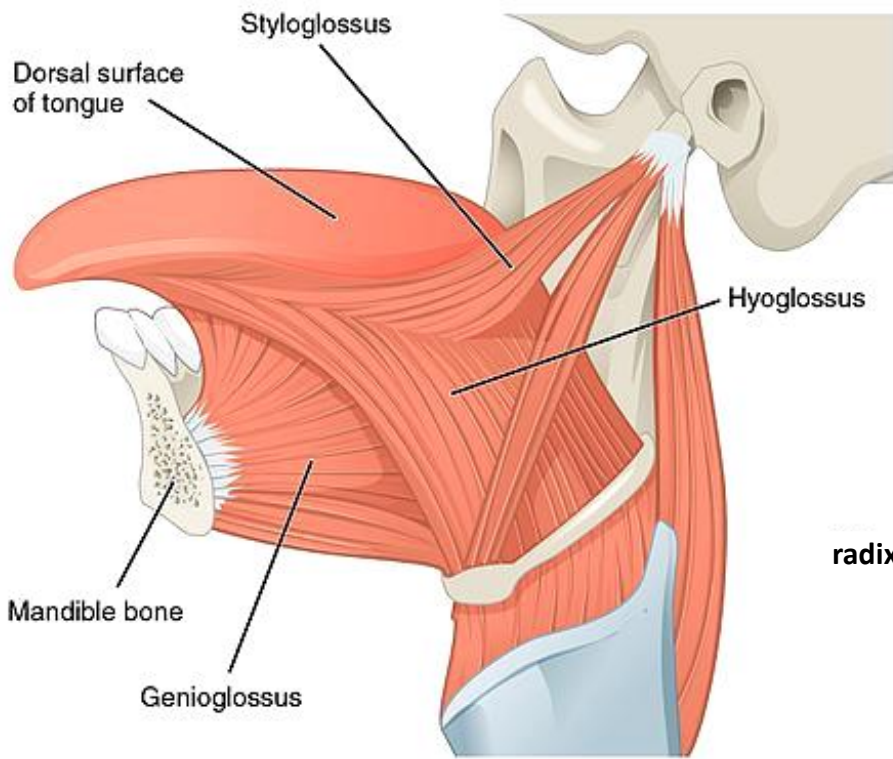


**FIGURE 12-1 A and B.** Anatomic locations occupied by the three main types of mucosa in the oral cavity. (From Thibodeau G, Patton K: *Anatomy and physiology*, ed 6, St Louis, 2007, Mosby.)

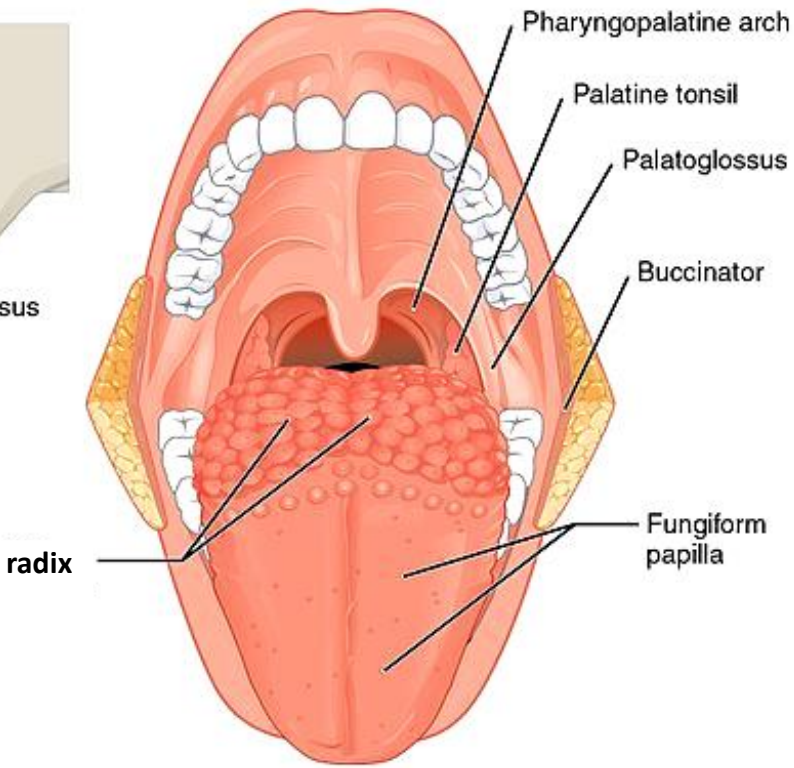


# Jazyk

Lingua (lat.)  
Glossa (gr.)



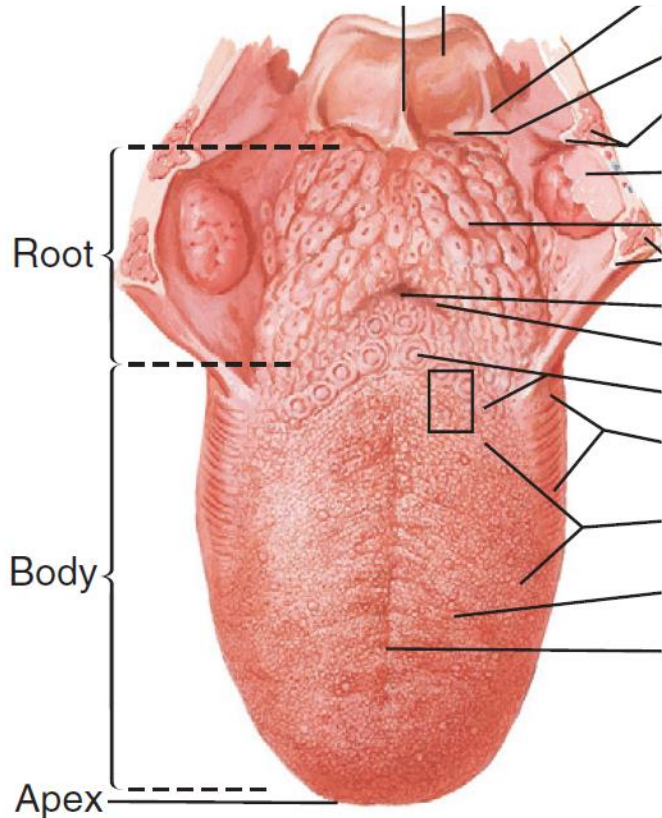
(a) Extrinsic tongue muscles



(b) Palatoglossus and surface of tongue

**Strukturní základ:** intra- a extraglosální příčně pruhované svaly

Evolučně se jazyk vyvinul u suchozemských obratlovců a obojživelníků (tetrapoda) ze svalů spodiny ústní



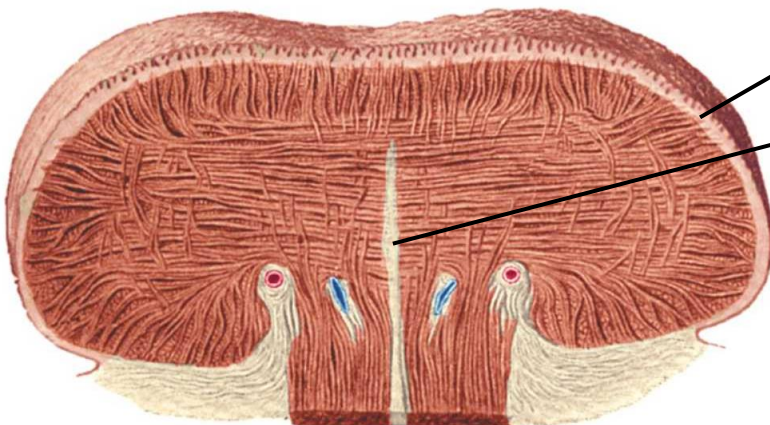
## Povrch jazyka

**Hřbet** (*dorsum linguae*)

specializovaná orální sliznice

## Spodní strana

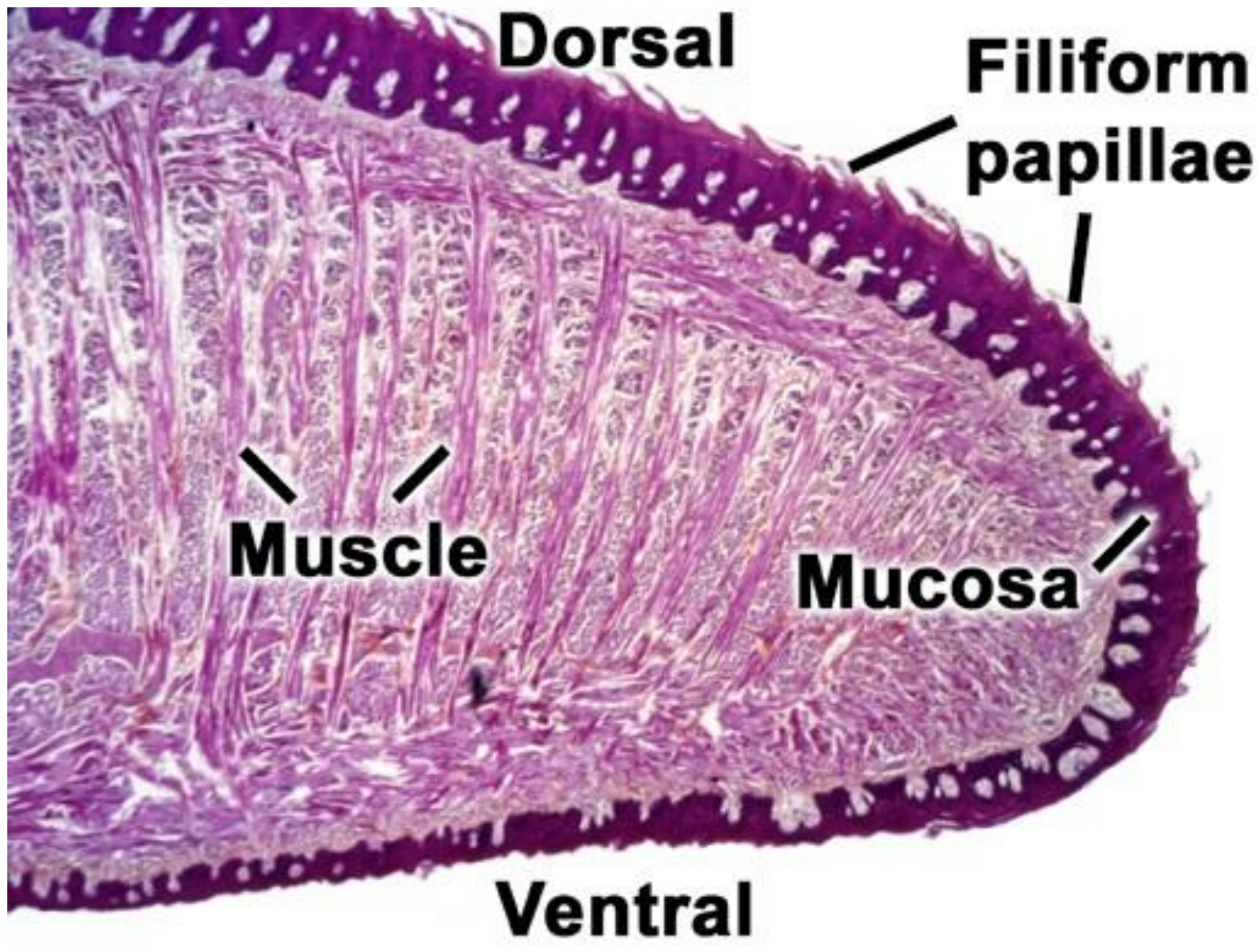
orální sliznice krycího typu

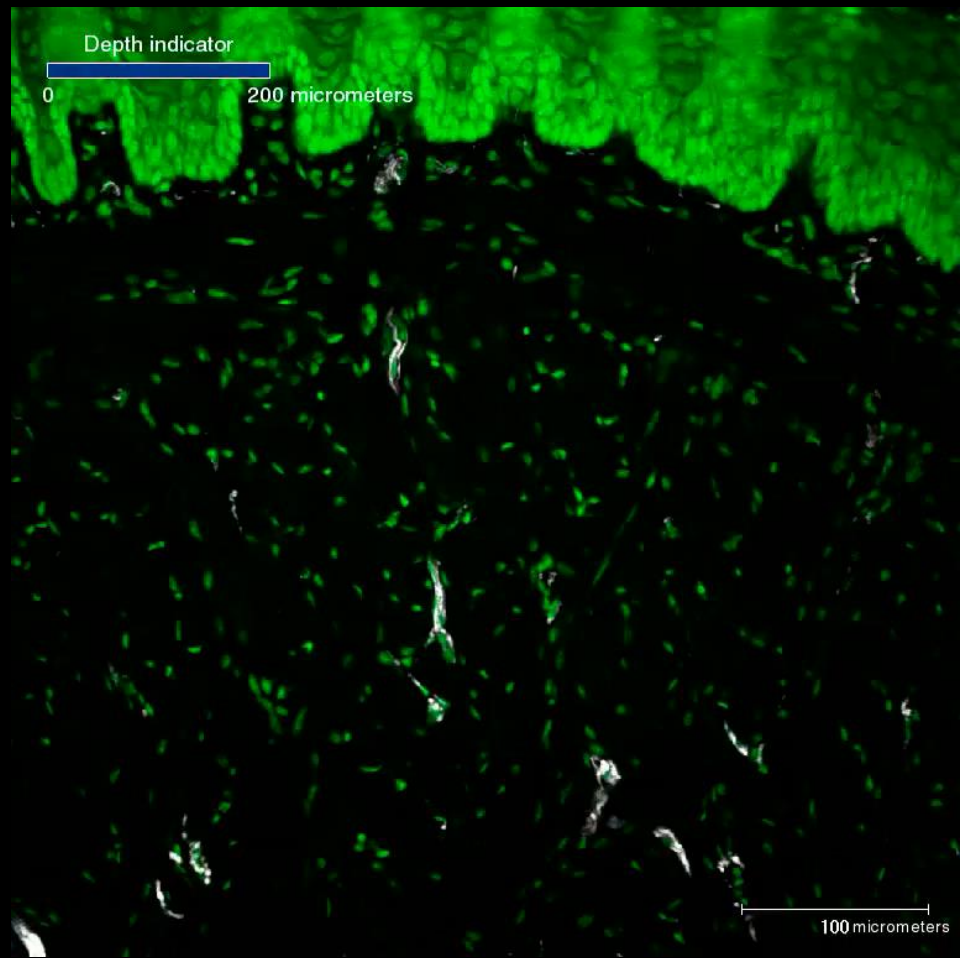
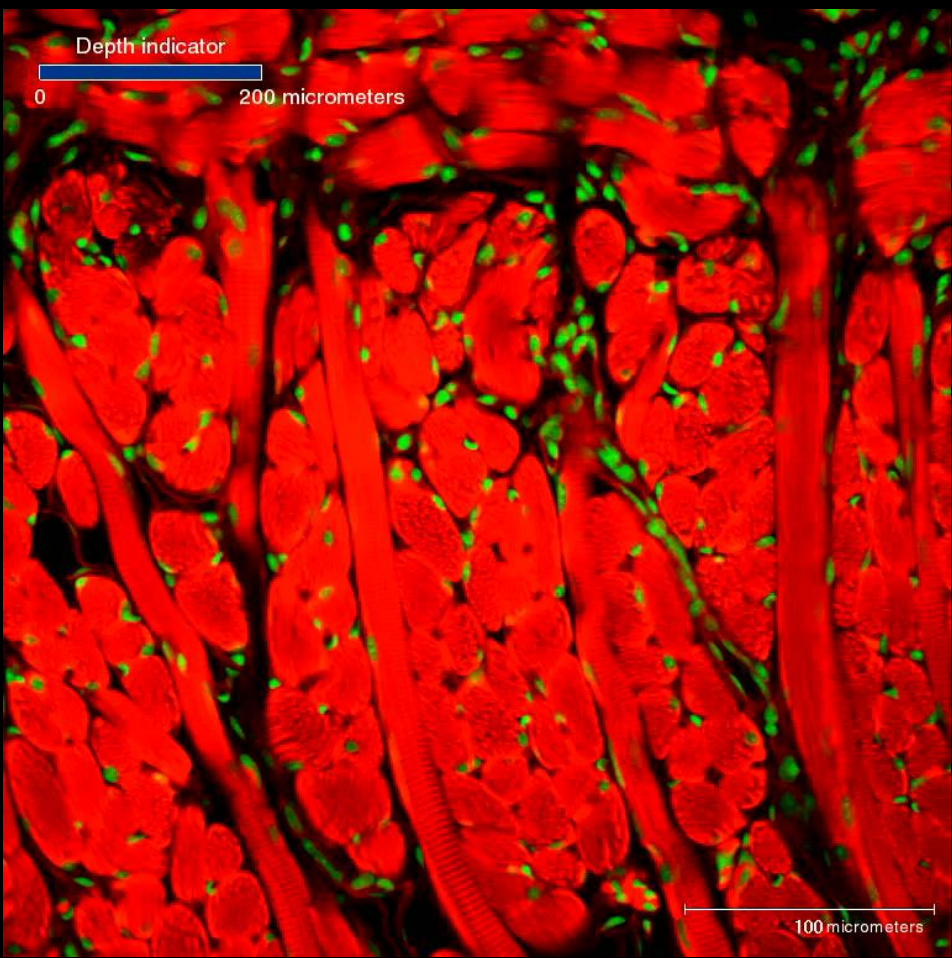


## Vazivové části

*aponeurosis linguae* - tuhá  
vazivová blána

*septum linguae* z hustého  
kolagenního vaziva a  
perimysium





Depth indicator

0 200 micrometers

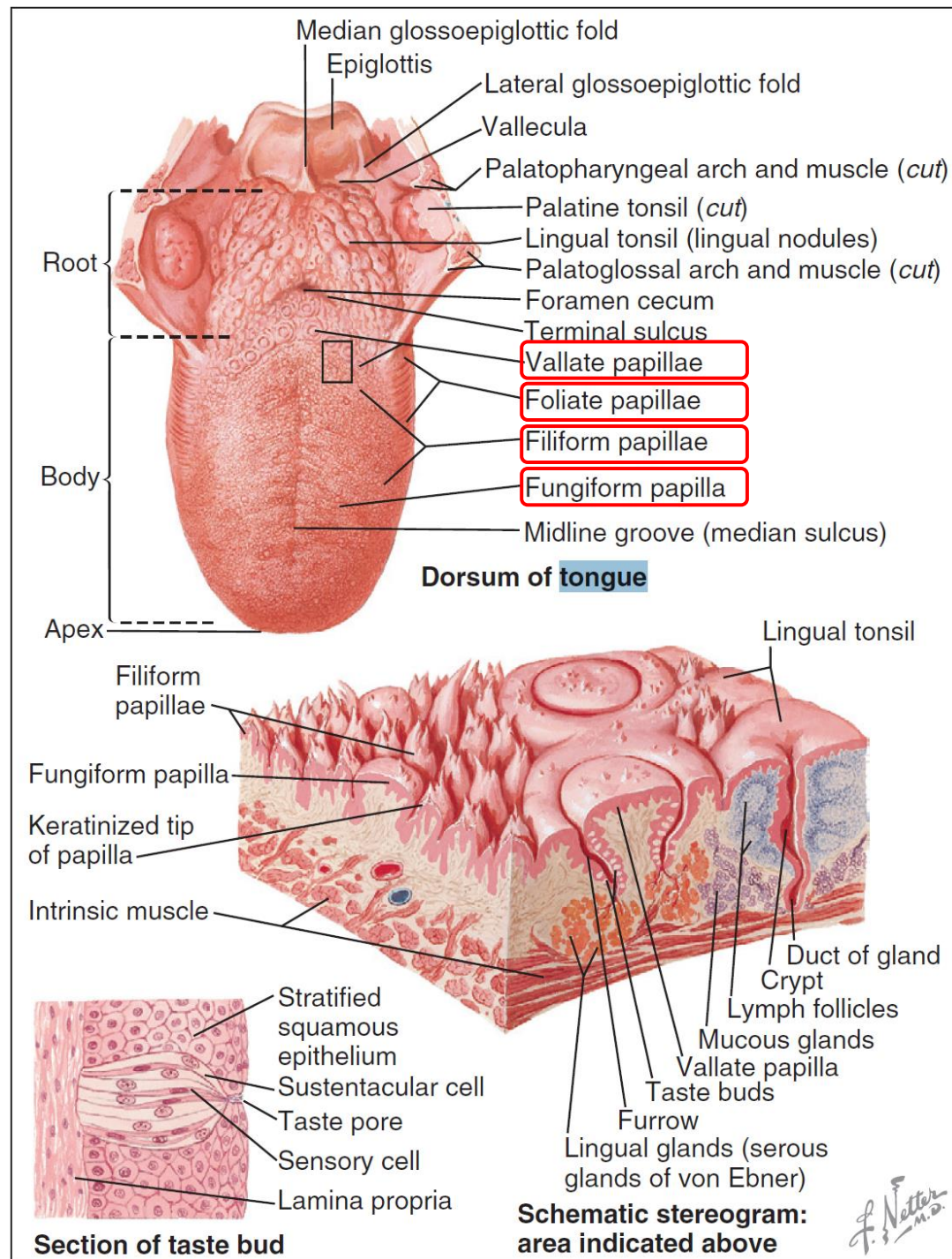
100 micrometers



# Dorsum lingue

## Specializovaná orální sliznice

- pevně srostlá s aponeurosis linguae
- nerovný až drsný povrch
- slizniční výrůstky - **jazykové papily**
- až na nitkovité papily jsou kryty nerohovějícím vrstevnatým dlaždicovým epitelem



## **Papillae filiformes**

Nejpočetnější, po celé dorzální ploše (od apex lingualis po sulcus terminalis),

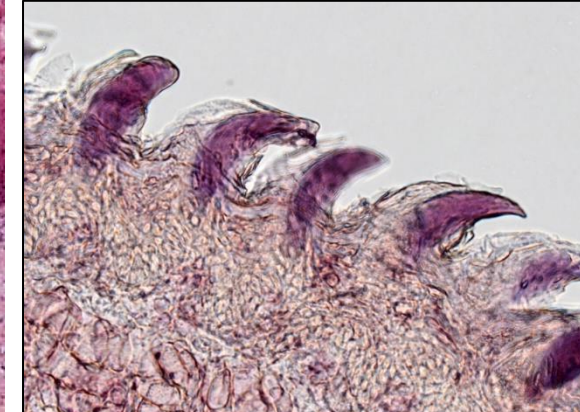
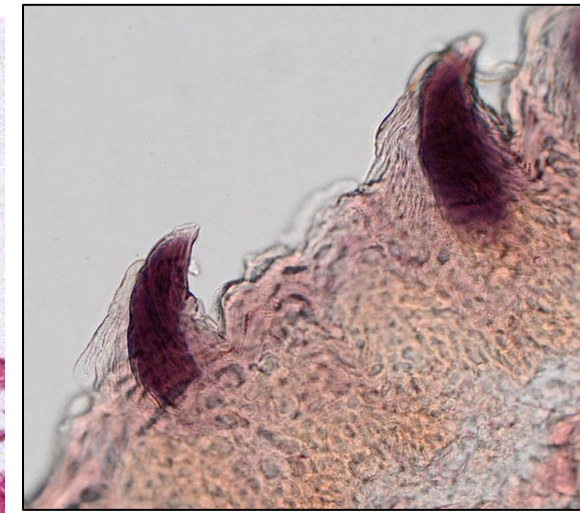
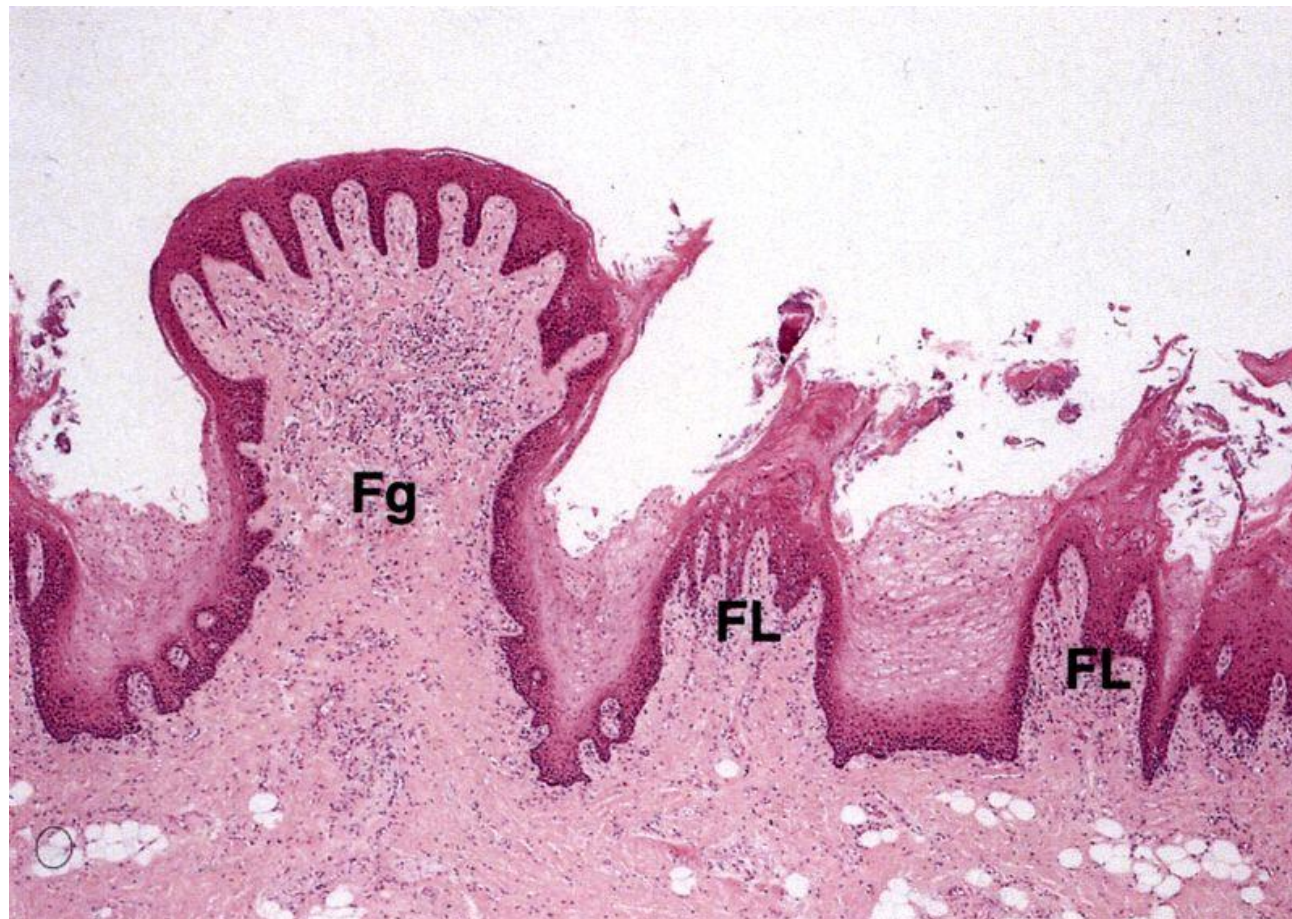
Štětečkům podobné útvary (výška 0,5 - 1,0 mm, šířka 0,2–0,3 mm)

Epitel rohovatí - při váznoucím odlupování tzv. „povleklý jazyk“

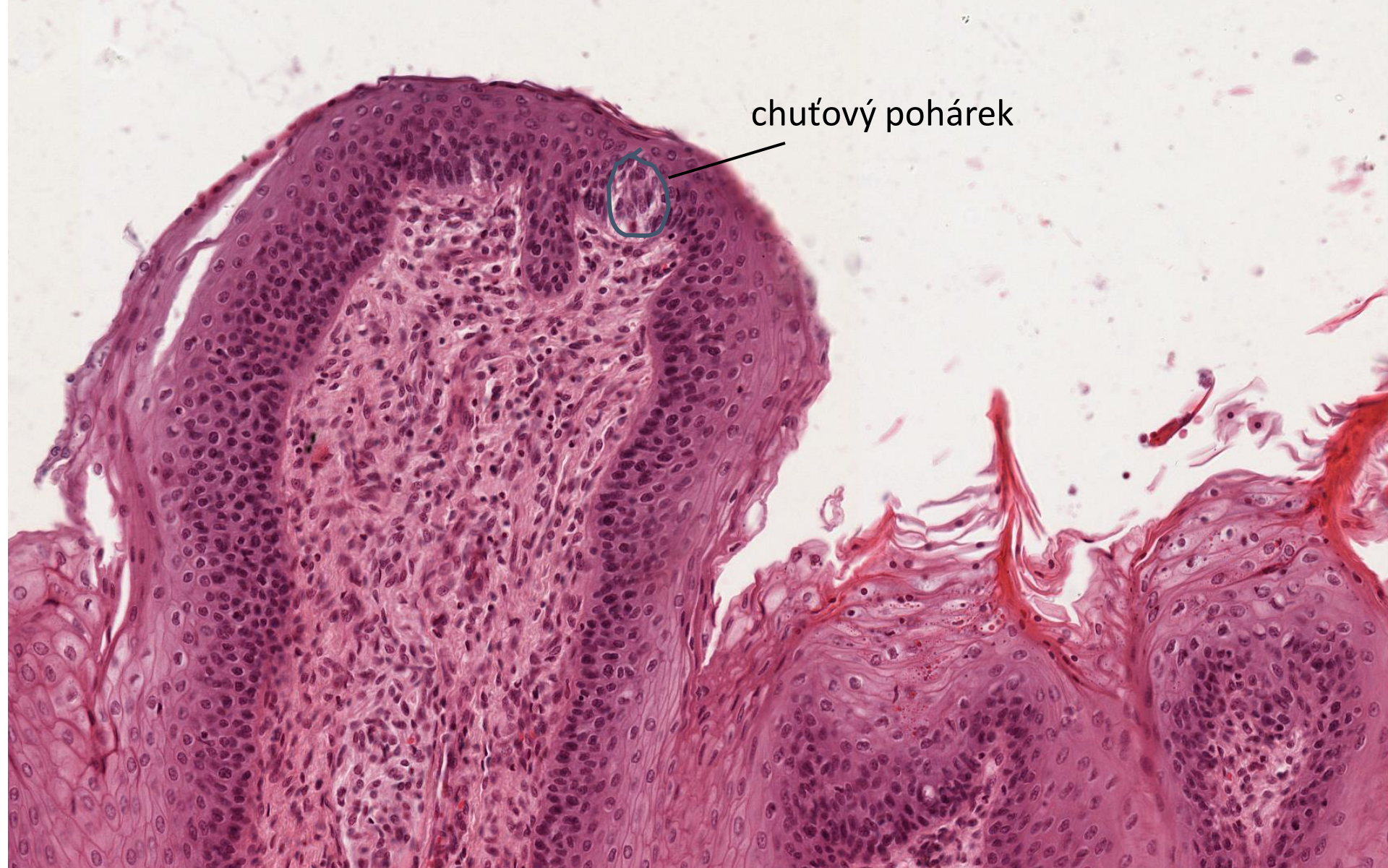
## **Papillae fungiformes**

Apex, Houbovité útvary (výška 0,5–1,5 mm, šířka 0,5–1,0 mm)

V epitelu bývají chutové pohárky



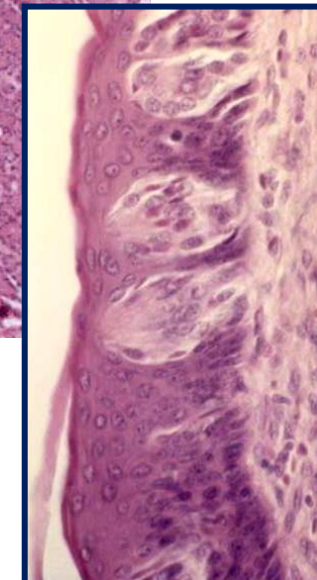
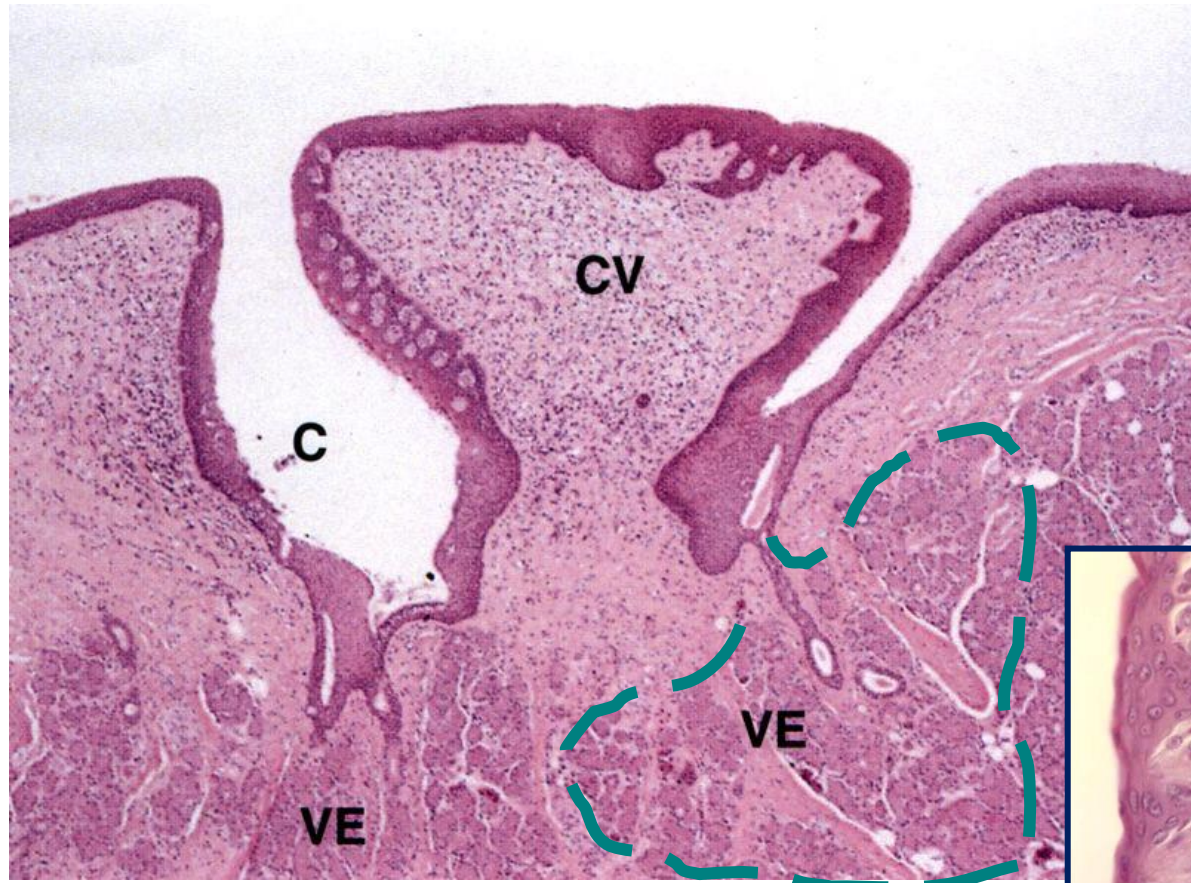
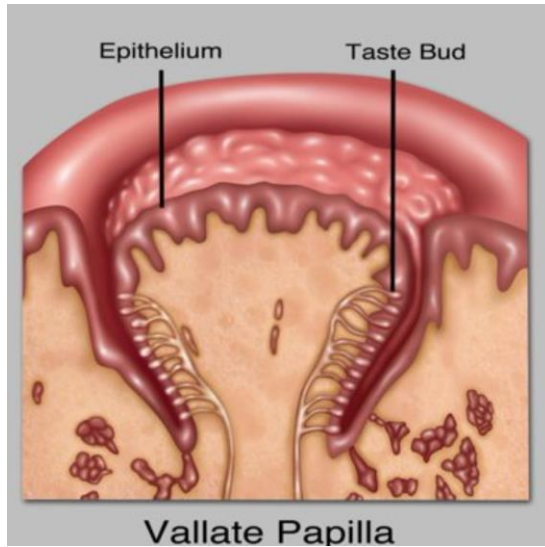
## Rozdíly v keratinizaci



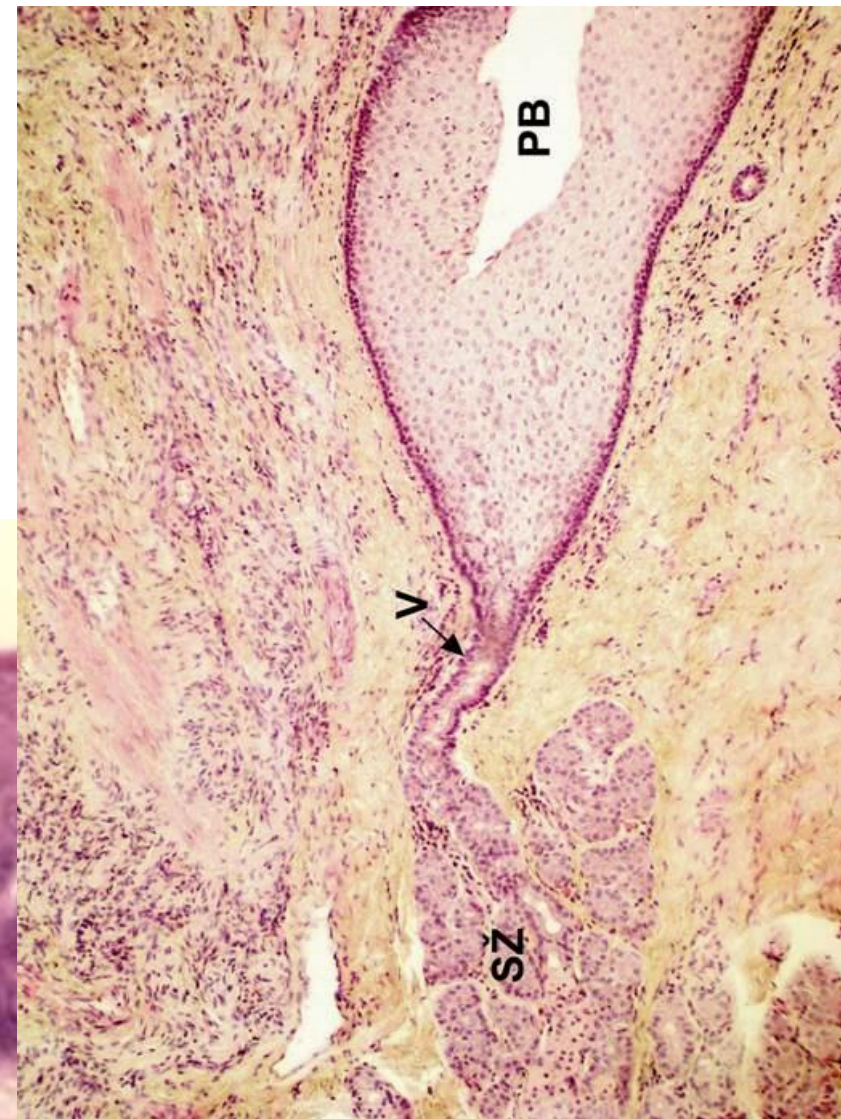
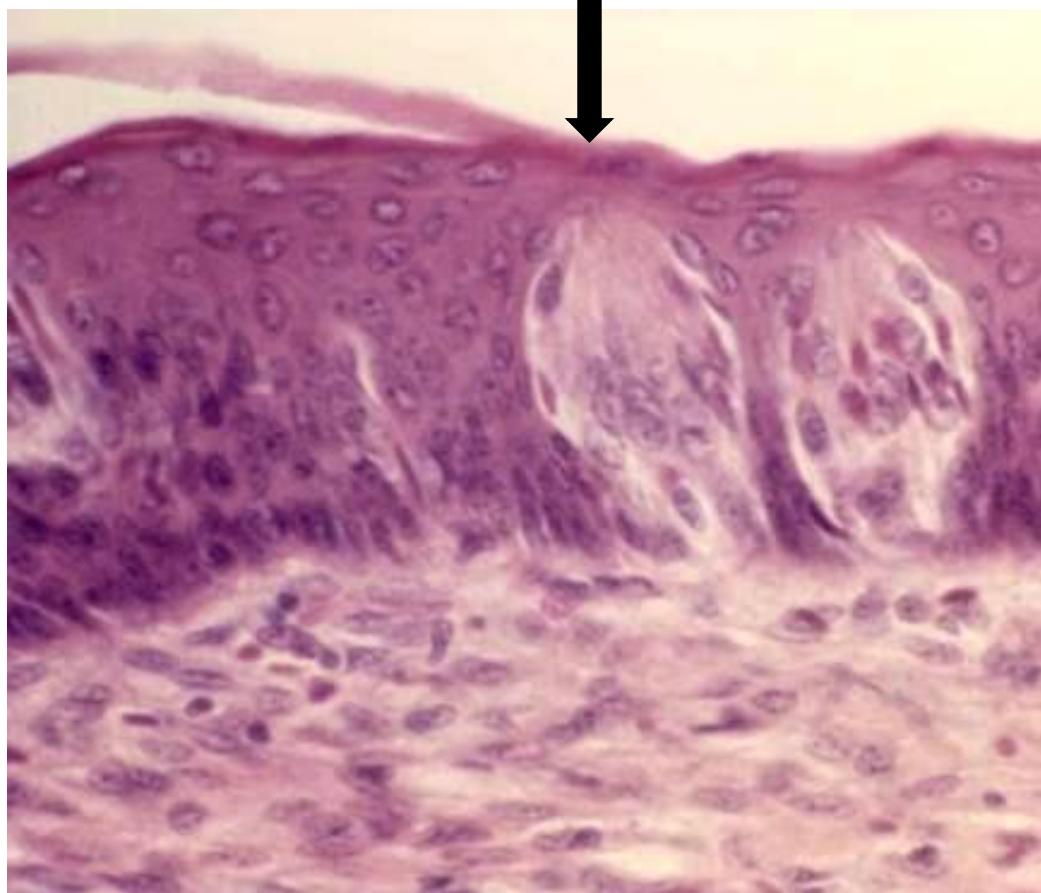
chuťový pohárek

## *Papillae vallatae*

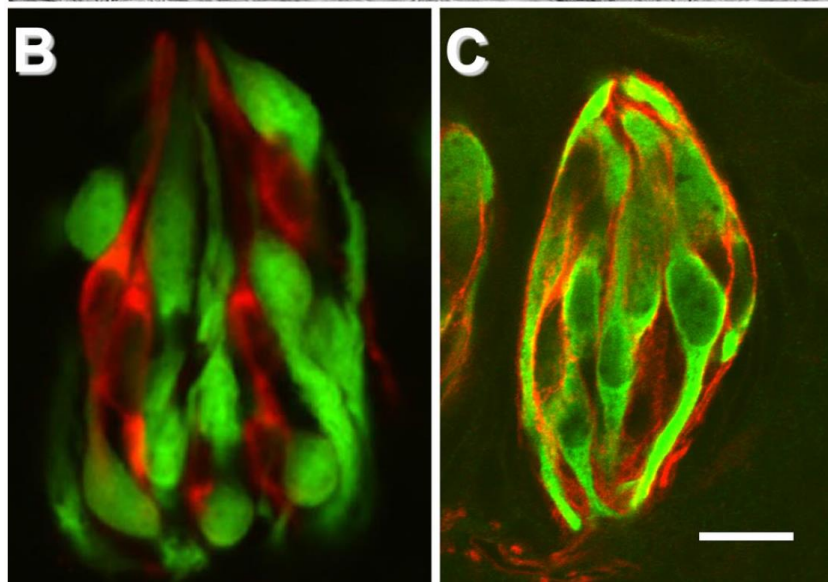
Největší (výška 1-4 mm, šířka 1-3 mm), Počet: 7–12 těsně před sulcus terminalis, do sliznice zanořeny - od prominujícího valu papilu odděluje hluboká cirkumpapilární brázda, chuoťové pohárky



chuťový pohárek



Vyústění vývodu (V)  
Ebnerovy serózní žlázy  
(SŽ) na dno papilární  
brázdy (PB)



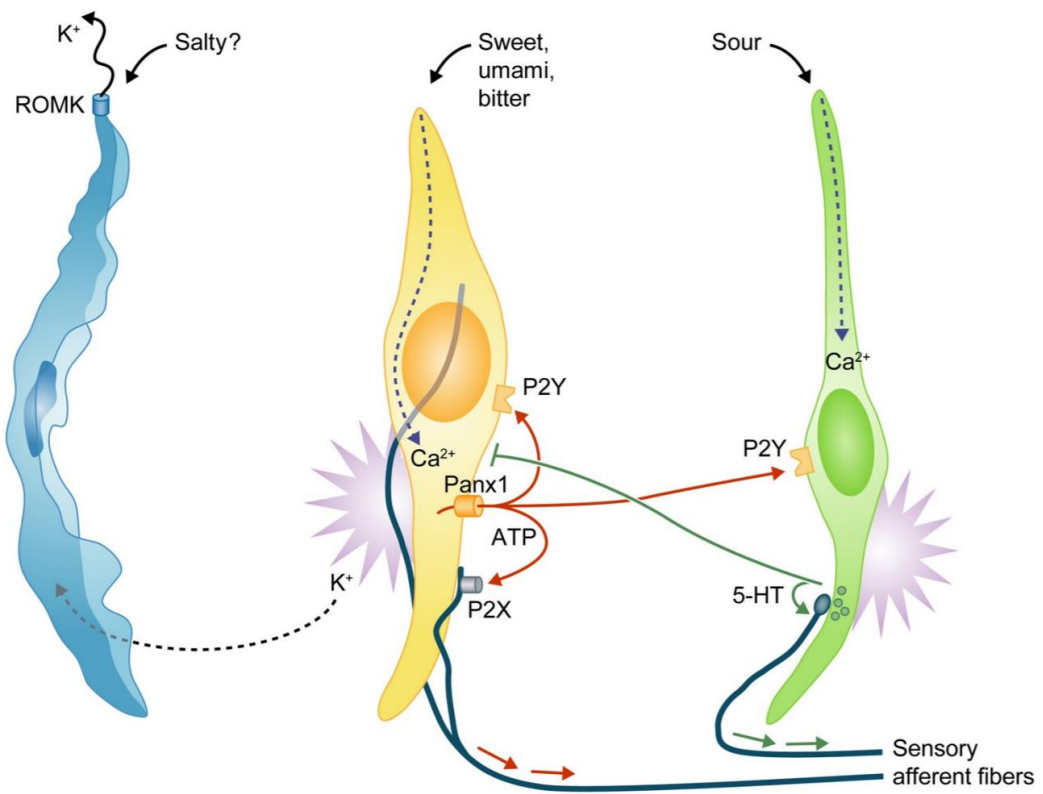
**Základní chutě:**

Sladká  
Slatá  
Kyselá  
Hořká  
Umami

**Další:**

Tuk  
Kov





| Type I glial-like cell                  |                          |
|---|--------------------------|
| <b>Neurotransmitter clearance</b>       |                          |
| GLAST                                   | Glutamate reuptake       |
| NTPDase2                                | Ecto-ATPase              |
| NET                                     | Norepinephrine uptake    |
| <b>Ion redistribution and transport</b> |                          |
| ROMK                                    | $\text{K}^+$ homeostasis |
| <b>Other</b>                            |                          |
| OXTR                                    | Oxytocin signaling?      |

| Type II receptor cell                          |                             |
|--|-----------------------------|
| <b>Taste transduction</b>                      |                             |
| T1Rs, T2Rs                                     | Taste GPCRs                 |
| mGluRs   | Taste GPCRs                 |
| $\text{G}\alpha\text{-gus}, \text{G}\gamma 13$ | G protein subunits          |
| PLC $\beta$ 2                                  | Synthesis of IP3            |
| TRPM5  | Depolarizing cation current |
| <b>Excitation and transmitter release</b>      |                             |
| $\text{Na}_v 1.7, \text{Na}_v 1.3$             | Action potential generation |
| Panx1  | ATP release channel         |

| Type III presynaptic cell                  |  |
|--|--|
| <b>Surface glycoproteins, ion channels</b> |  |
| NCAM                                       | Neuronal adhesion                      |
| PKD channels                               | Sour taste?                            |
| <b>Neurotransmitter synthesis</b>          |  |
| AADC                                       | Biogenic amine synthesis               |
| GAD67                                      | GABA synthesis                         |
| 5-HT                                       | Neurotransmitter                       |
| Chromogranin                               | Vesicle packaging                      |
| <b>Excitation, transmitter release</b>     |  |
| $\text{Na}_v 1.2$                          | Action potential generation            |
| $\text{Ca}_v 2.1, \text{Ca}_v 1.2$         | Voltage-gated $\text{Ca}^{2+}$ current |
| SNAP25                                     | SNARE protein, exocytosis              |

## **Preparáty:**

- labium oris (1)
- palatum molle (5)
- apex linguae (2)
- papilla vallata (3)